

FIGURA 1:
ORIGINAL

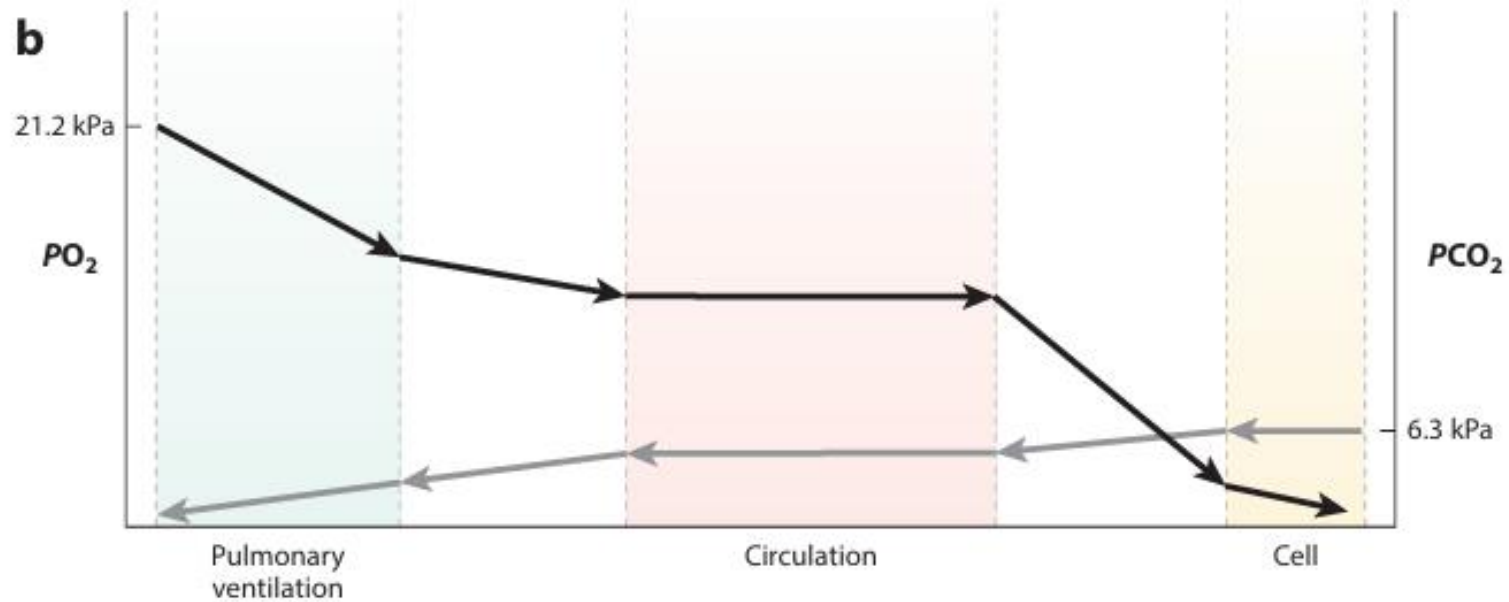
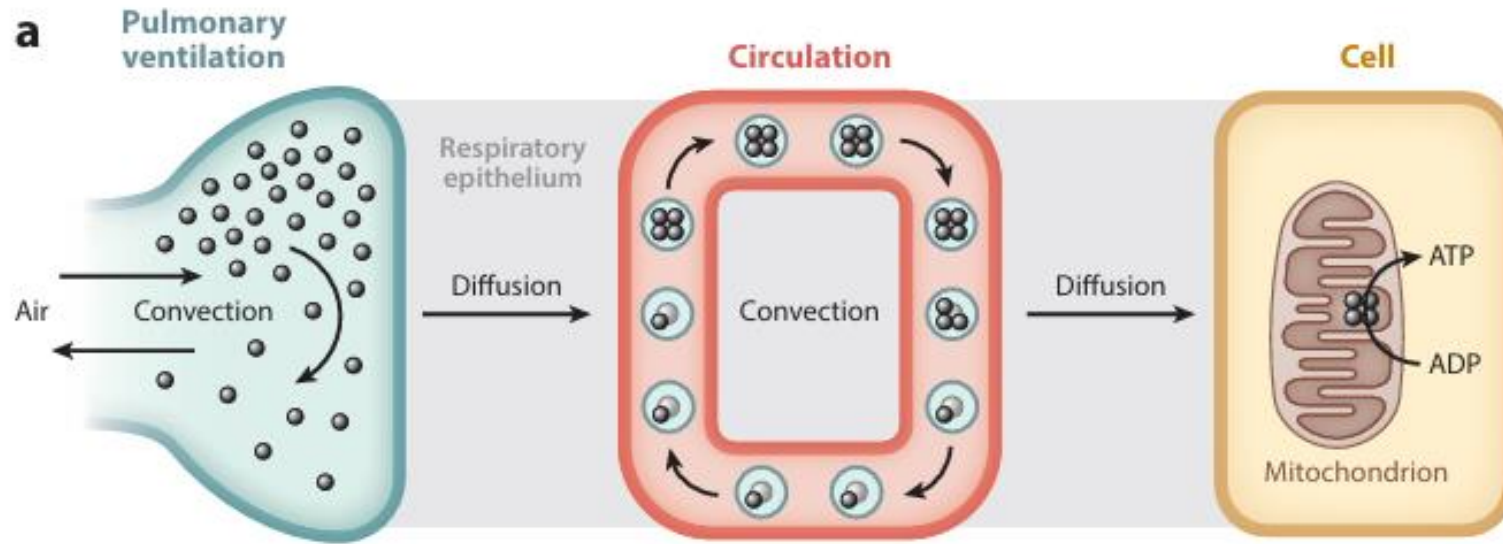


FIGURA 1: MODIFICADA

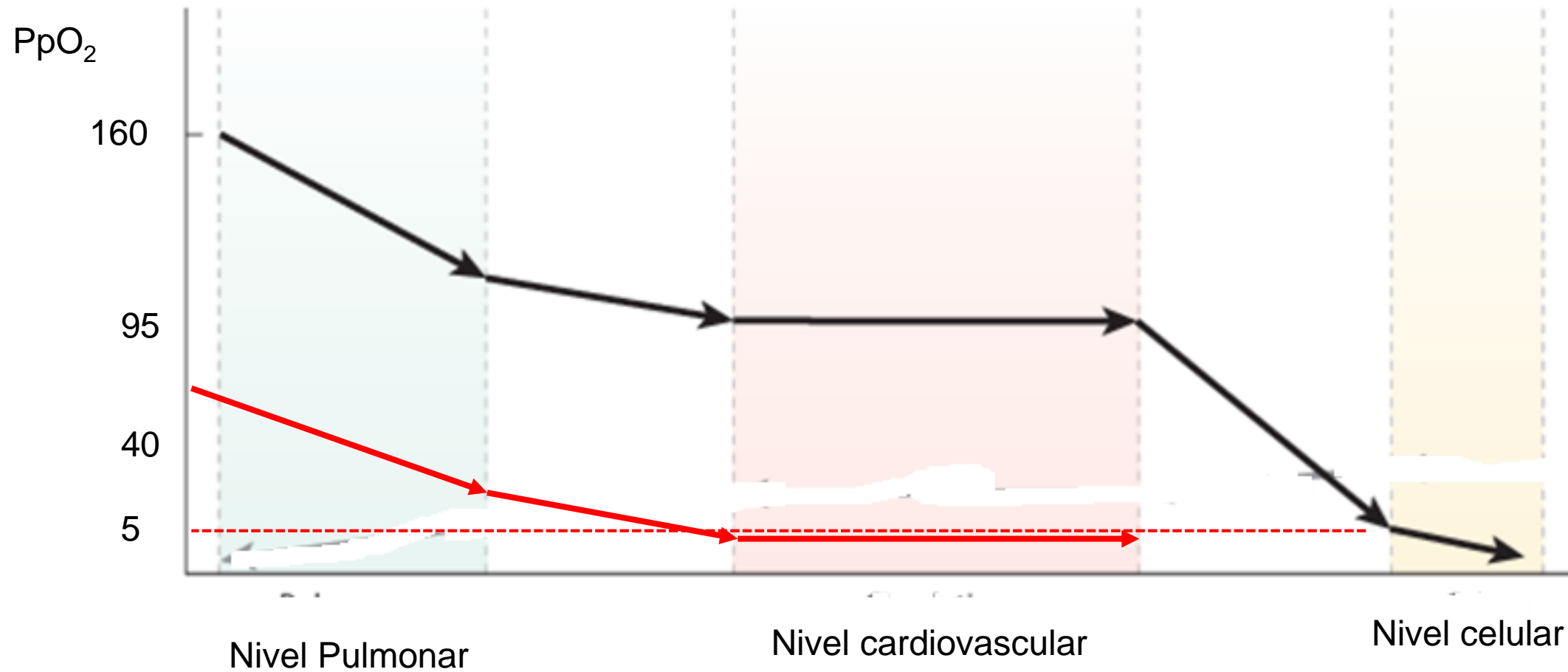


FIGURA 2: ORIGINAL

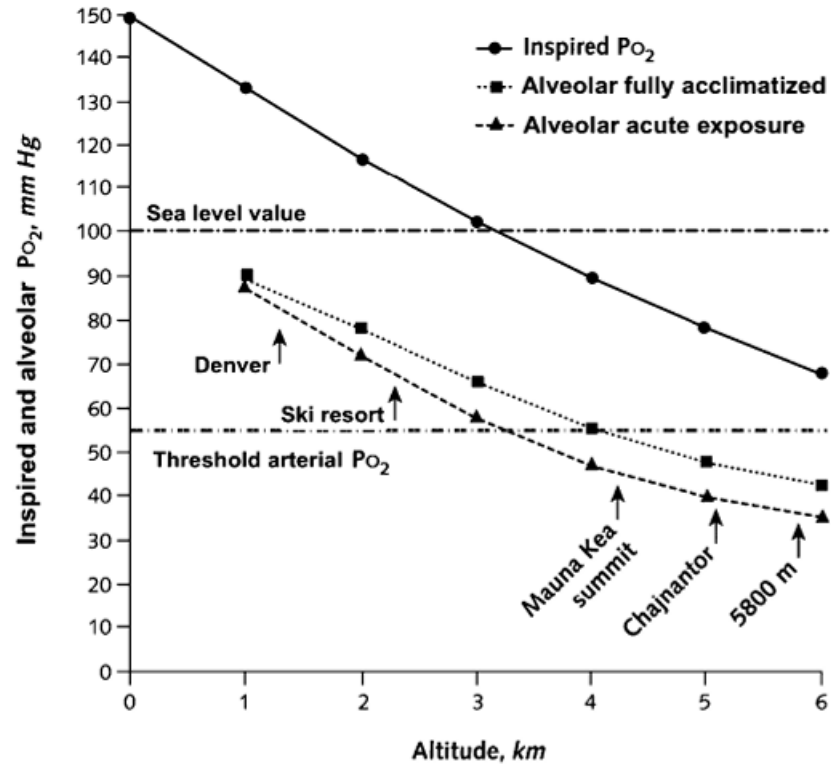
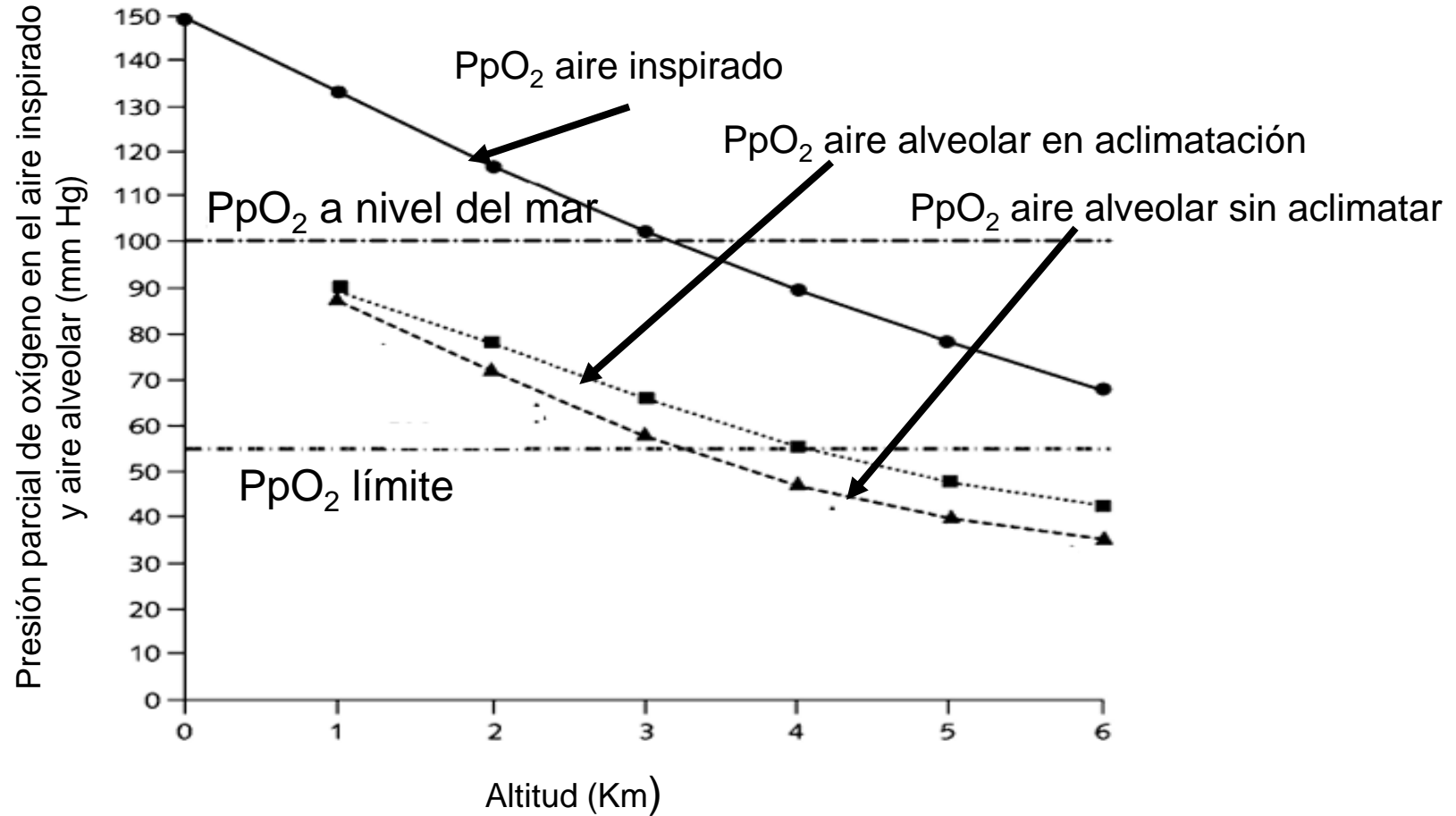


FIGURA 2: MODIFICADA



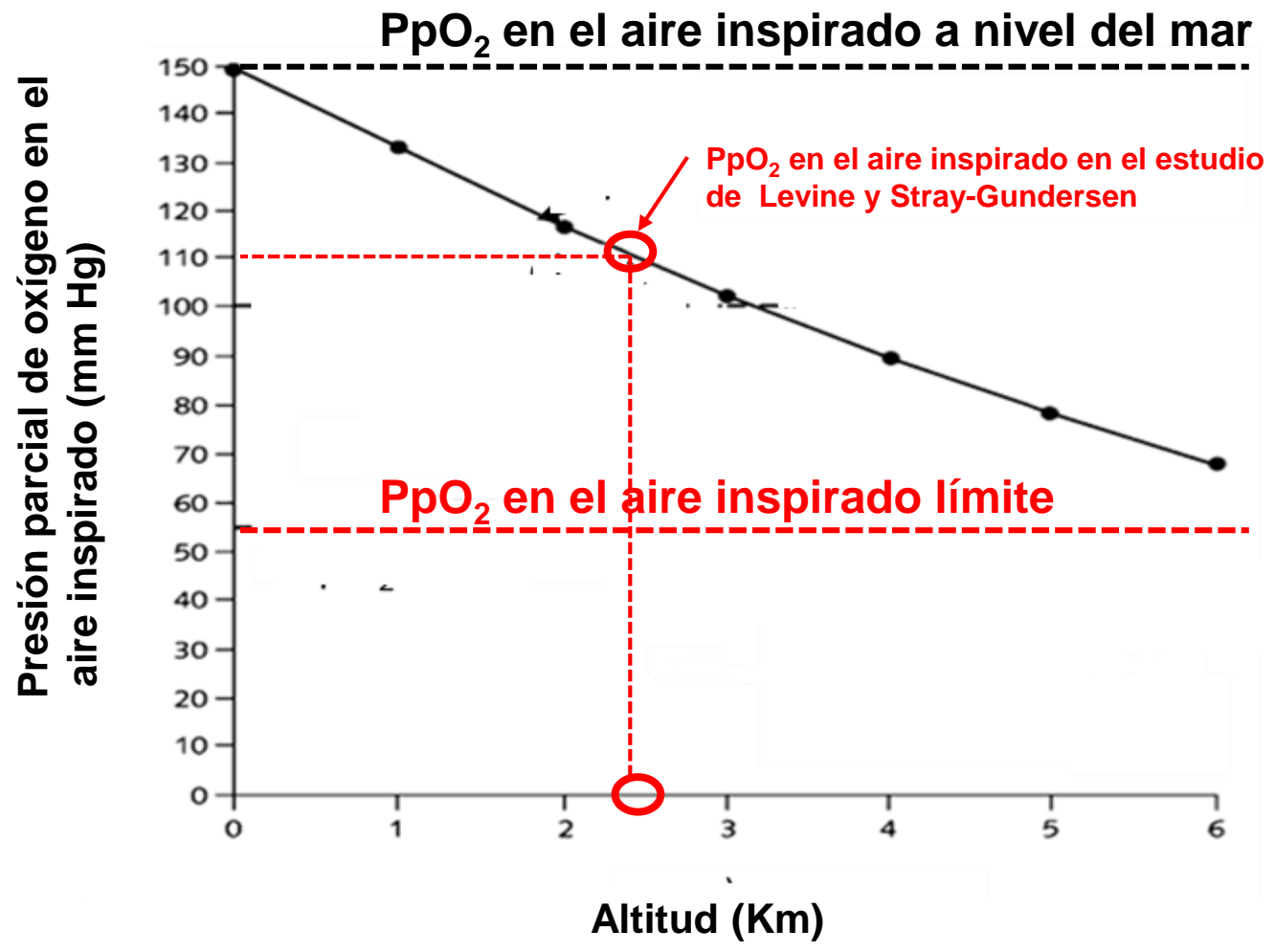


FIGURA 2: ORIGINAL

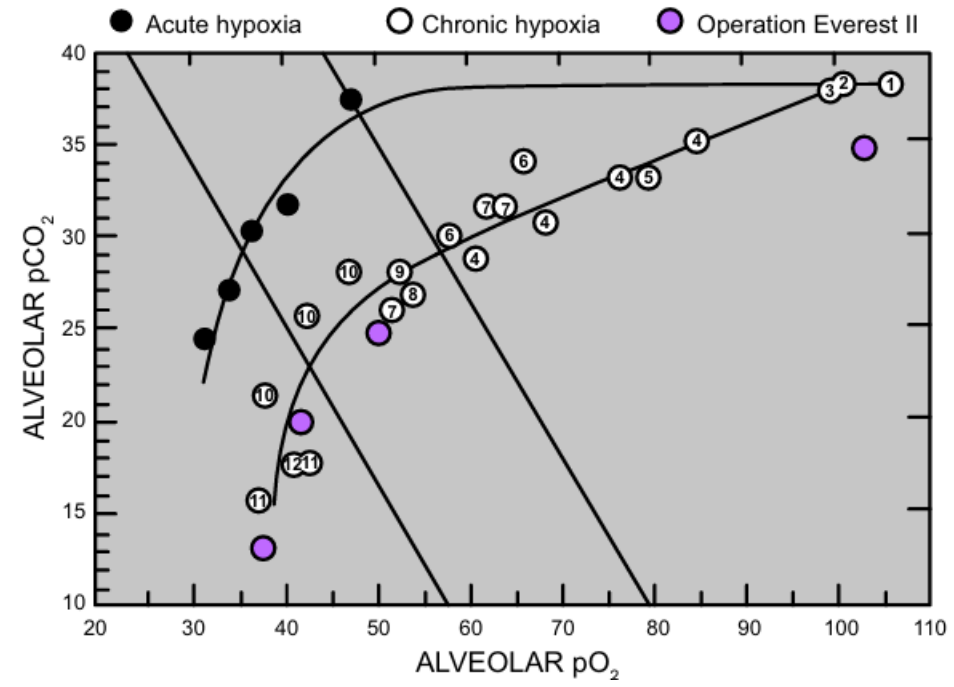


FIGURA 2: MODIFICADA

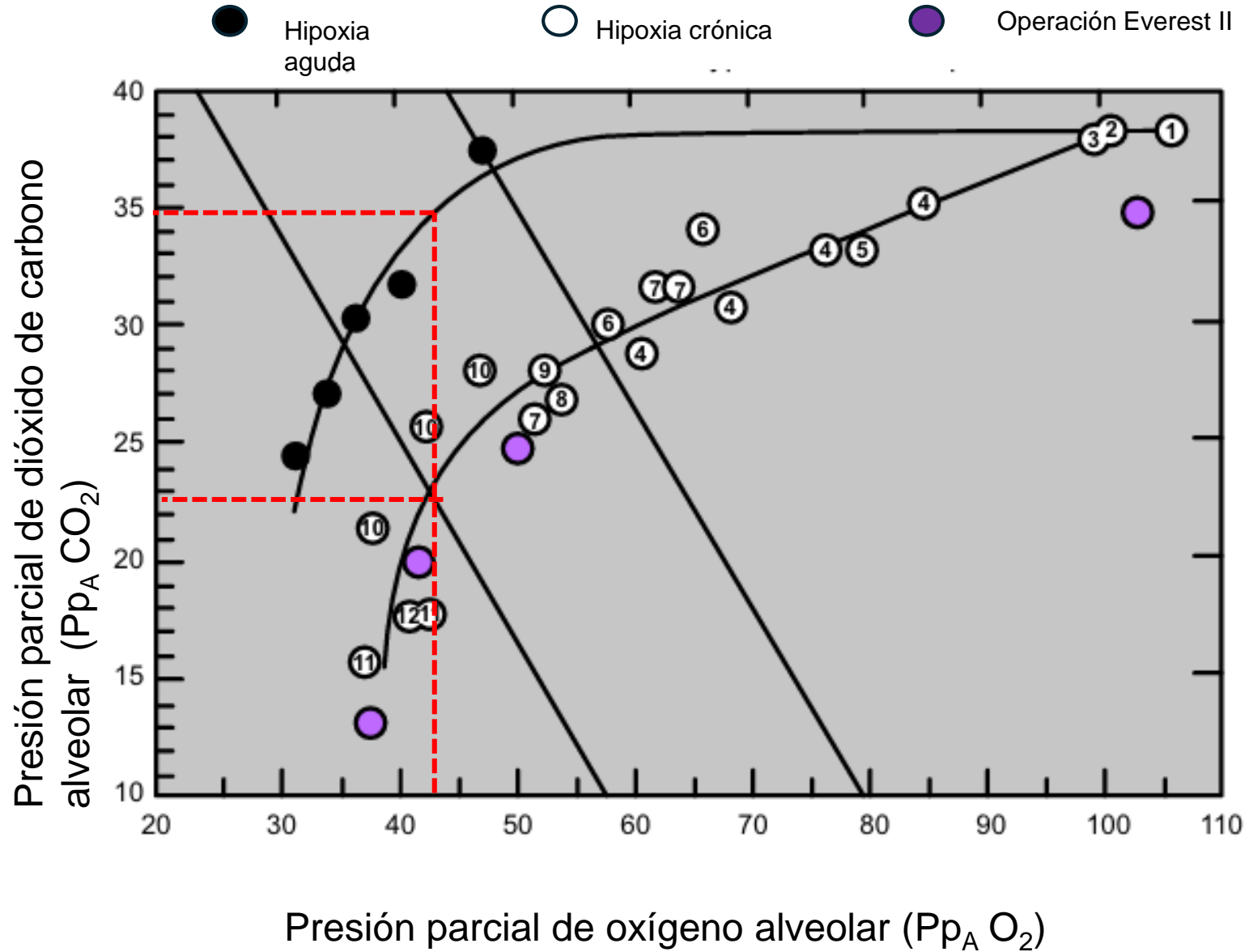


FIGURA 3: ORIGINAL

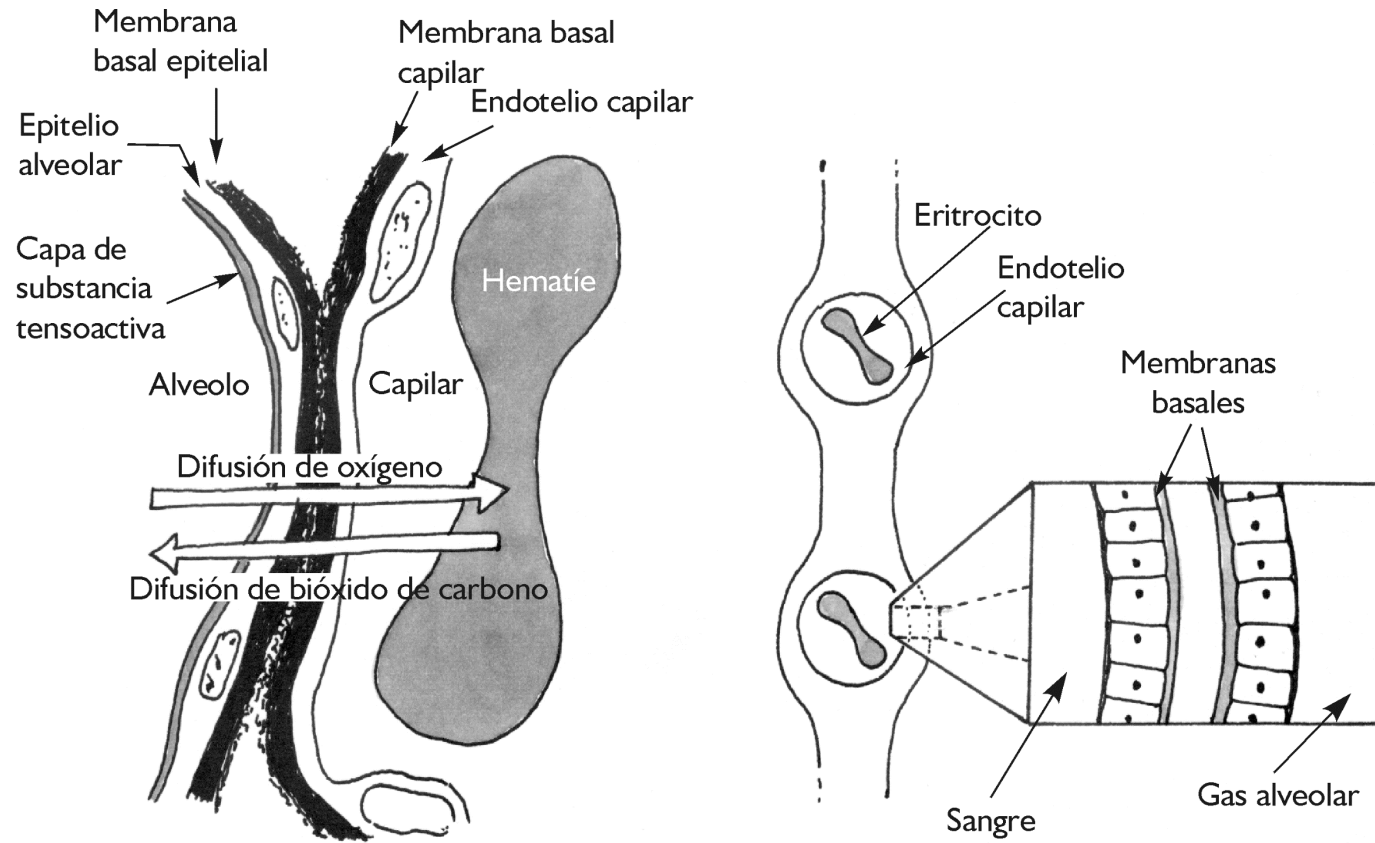
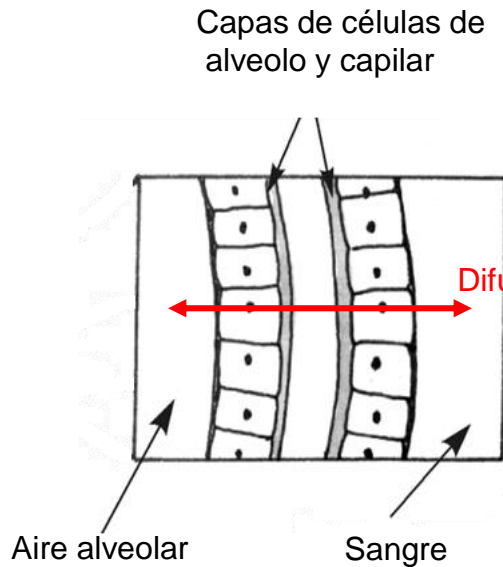


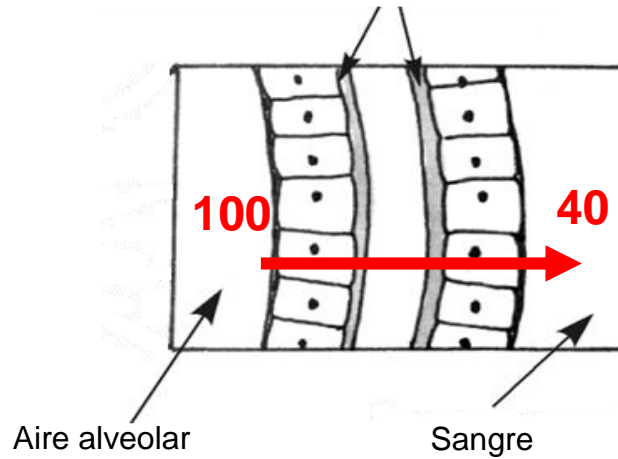
FIGURA 3: MODIFICADA

A nivel del mar



- 1. Diferencia de presiones
- 2. Constantes para cada gas
- 3. Grosor de la barrera Alveolo-capilar

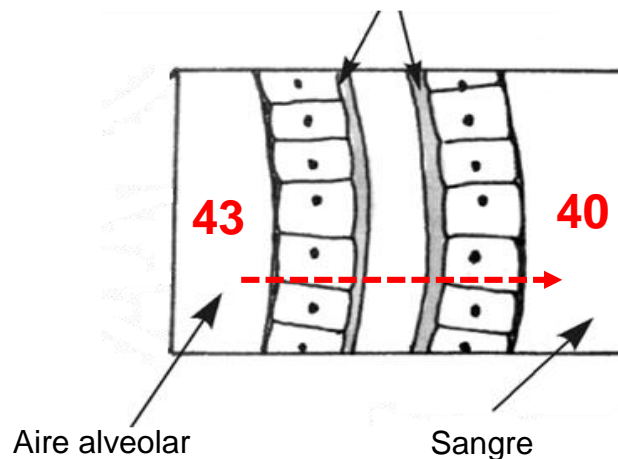
Capas de células de alveolo y capilar



- 1. Diferencia de presiones
- 2. Constantes para cada gas
- 3. Grosor de la barrera Alveolo-capilar

En el Everest

Capas de células de alveolo y capilar



- 1. Diferencia de presiones
- 2. Constantes para cada gas
- 3. Grosor de la barrera Alveolo-capilar

FIGURA 4: ORIGINAL

A

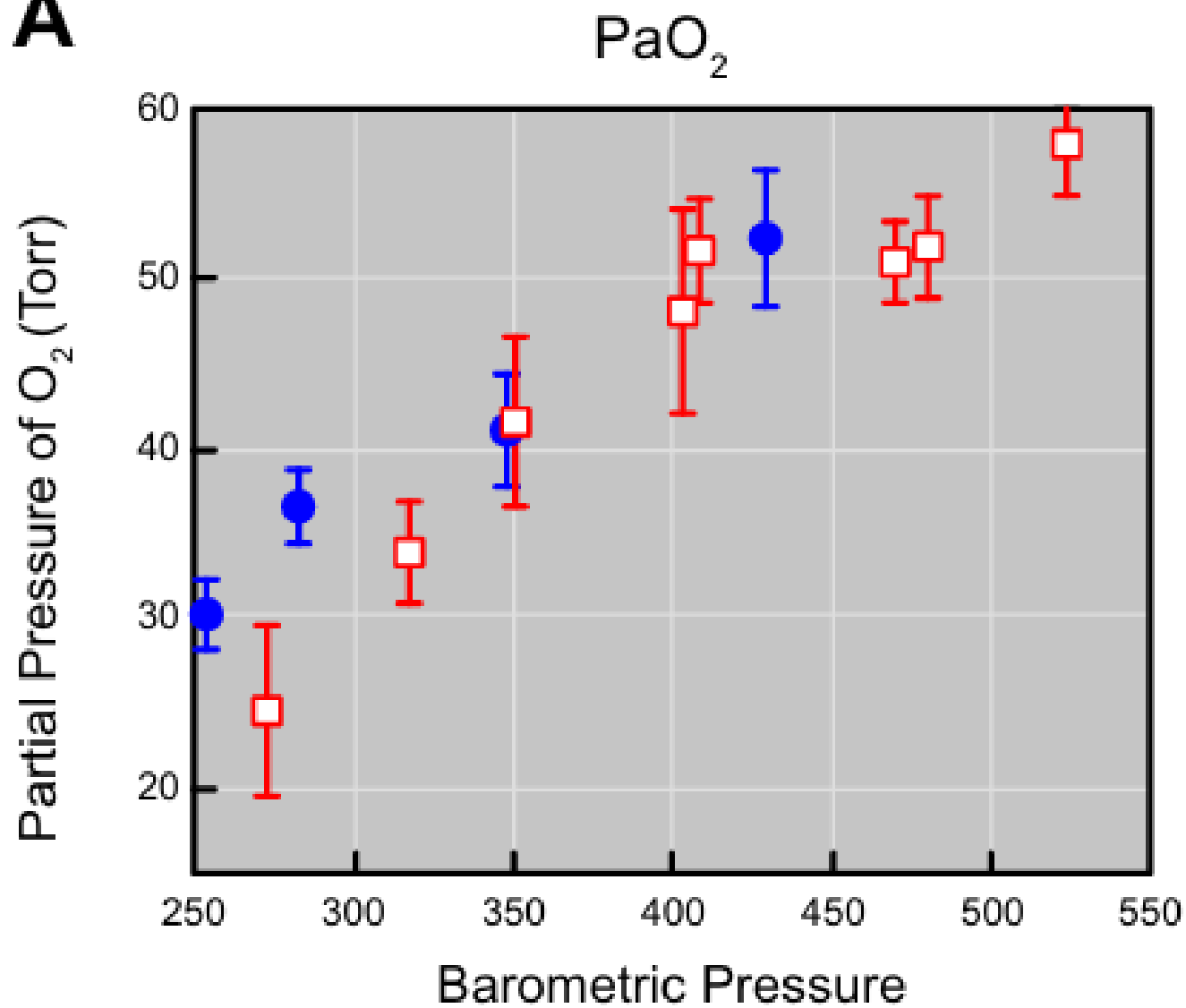


FIGURA 4: MODIFICADA

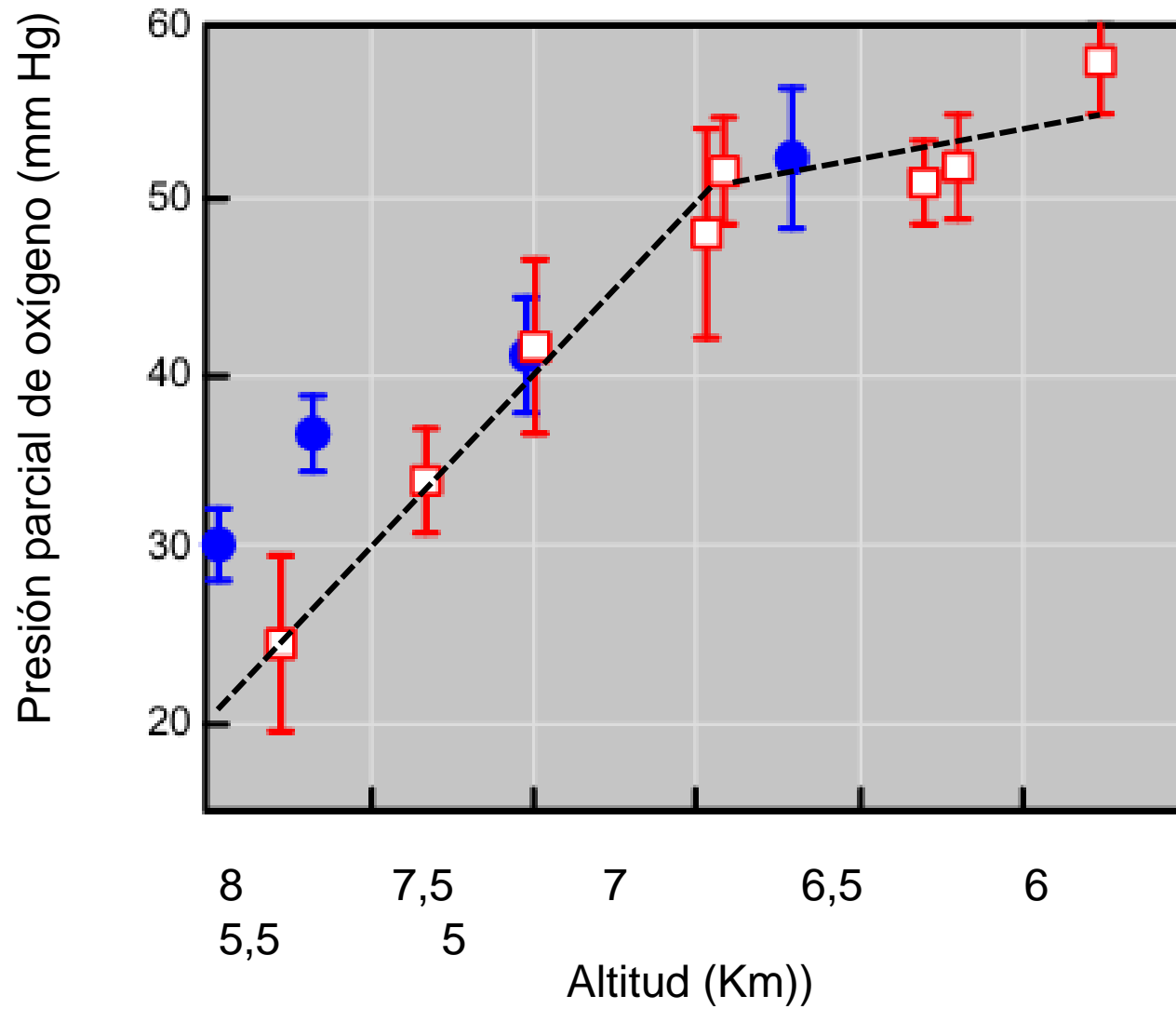


FIGURA 5: ORIGINAL

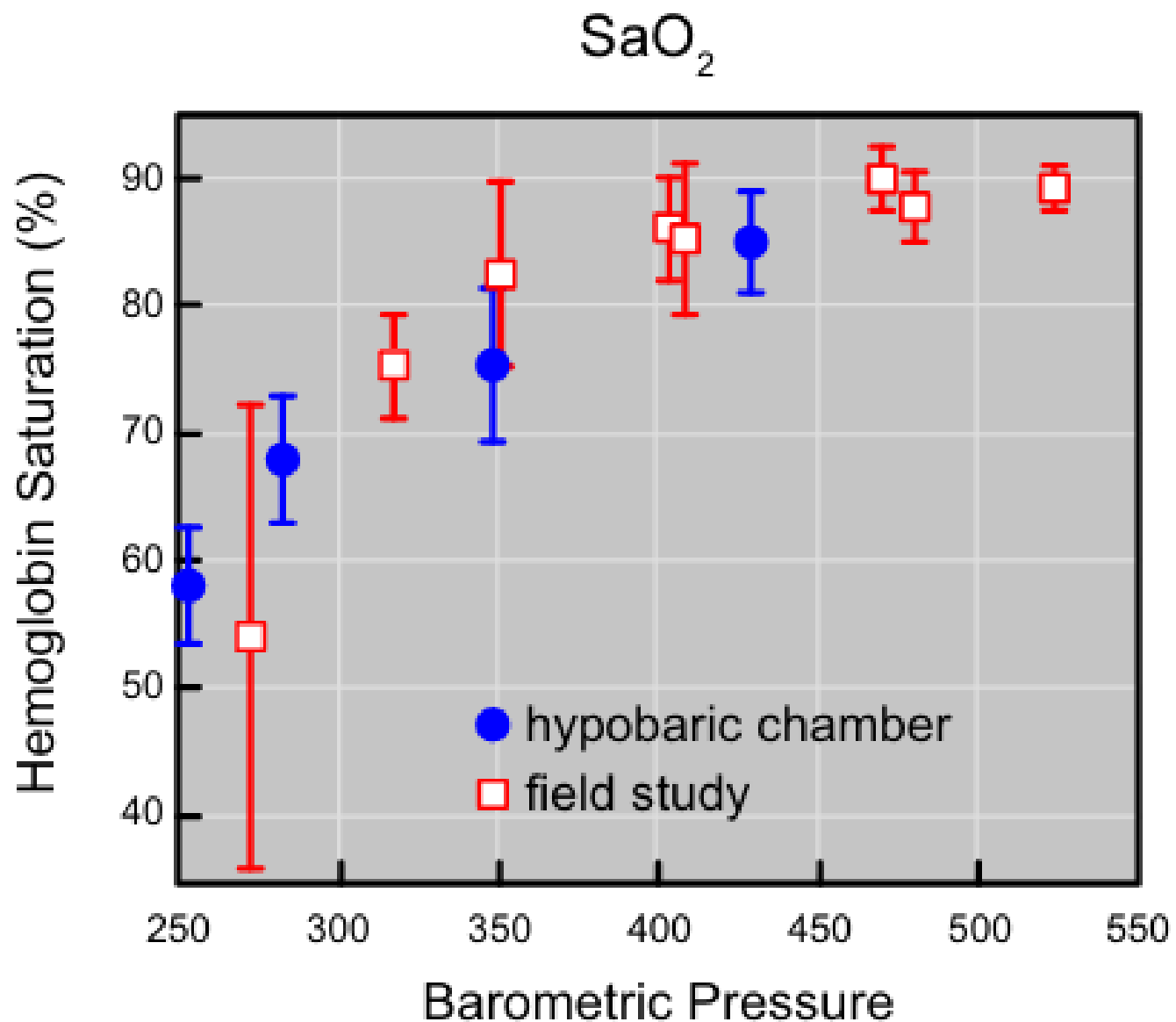


FIGURA 5: MODIFICADA

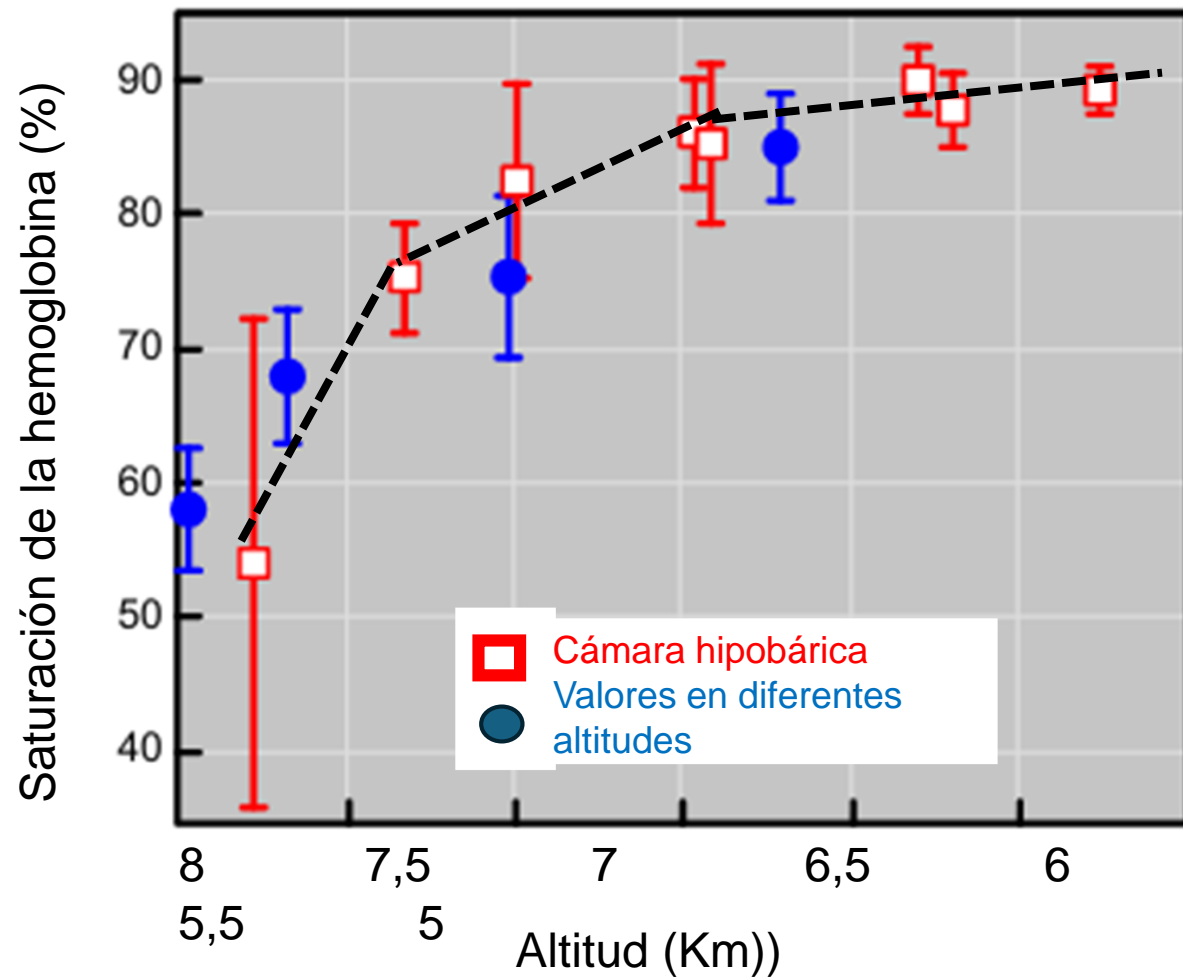


FIGURA 6: ORIGINAL

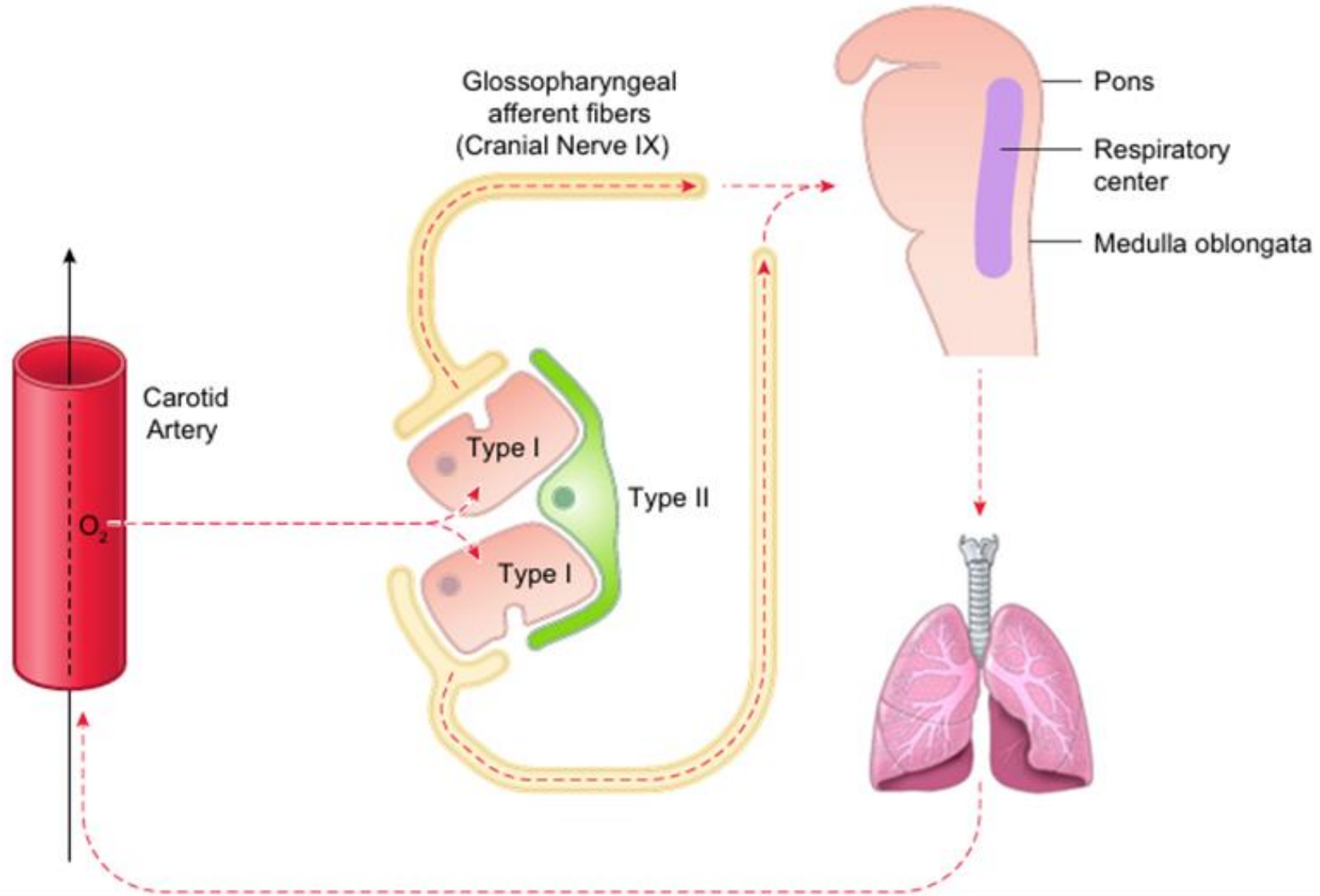


FIGURA 6: MODIFICADA

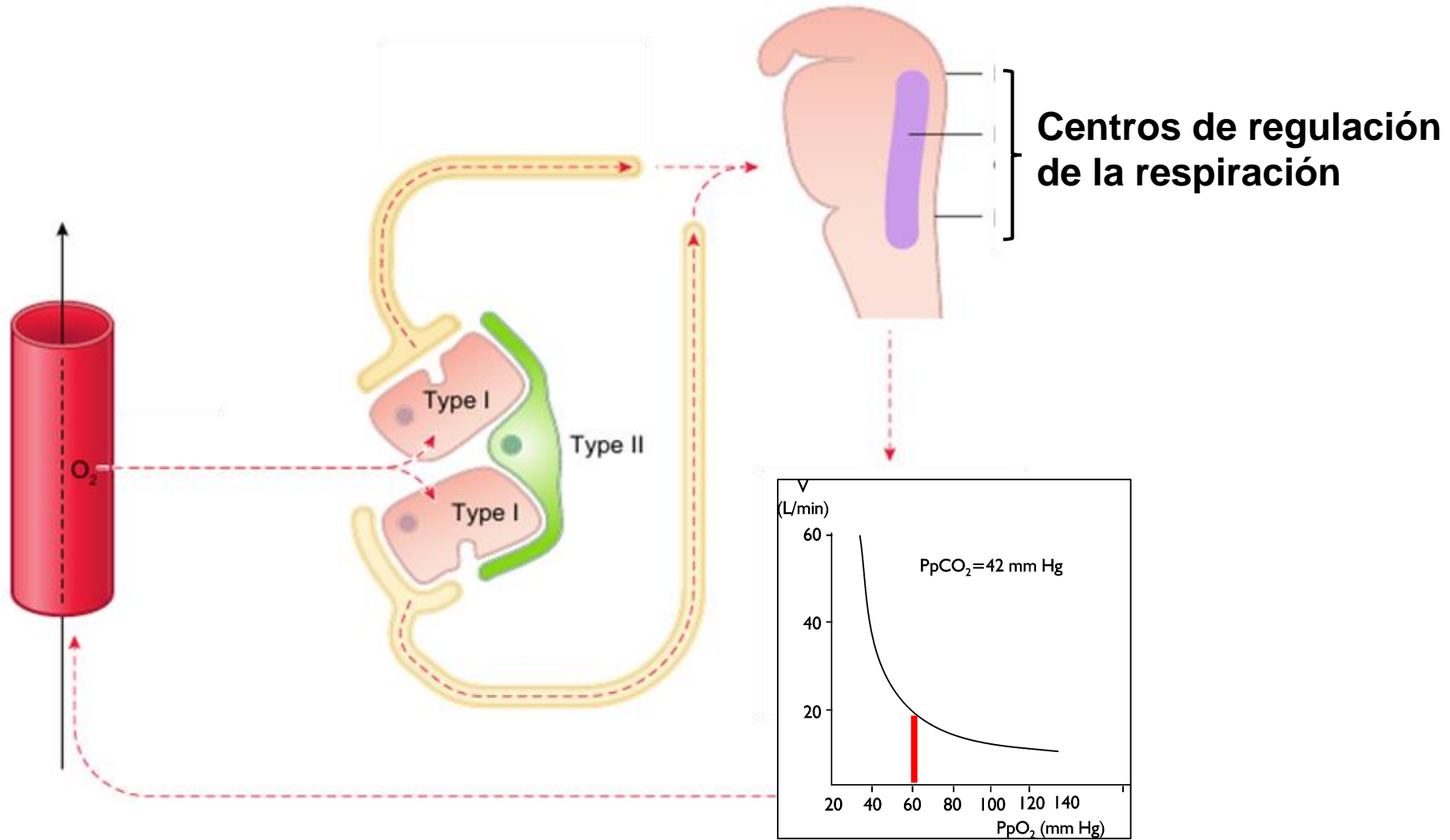


FIGURA 7: ORIGINAL

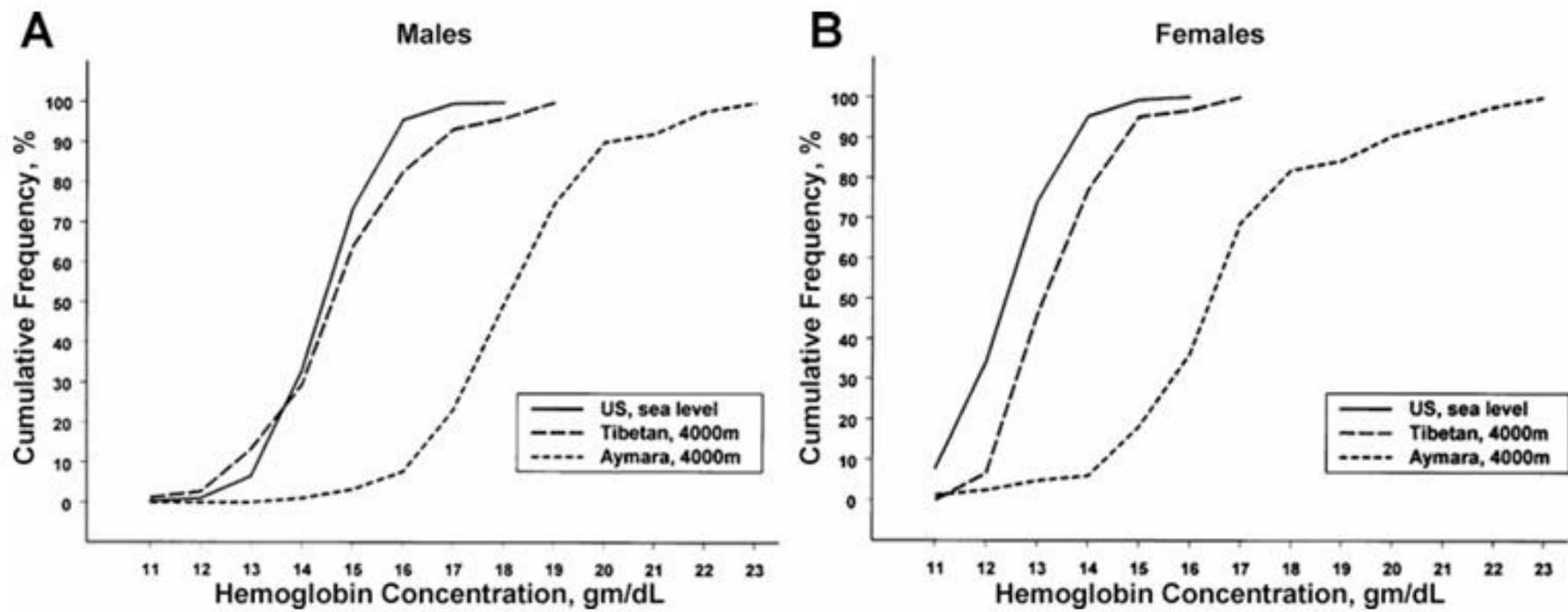
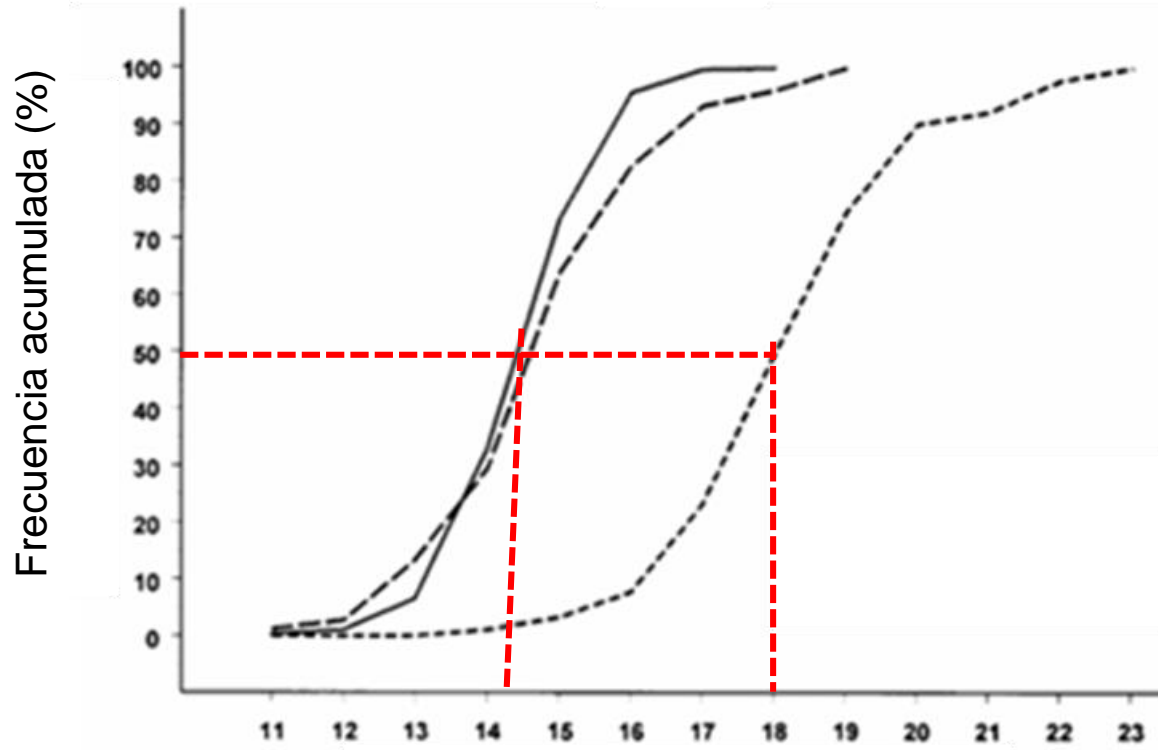


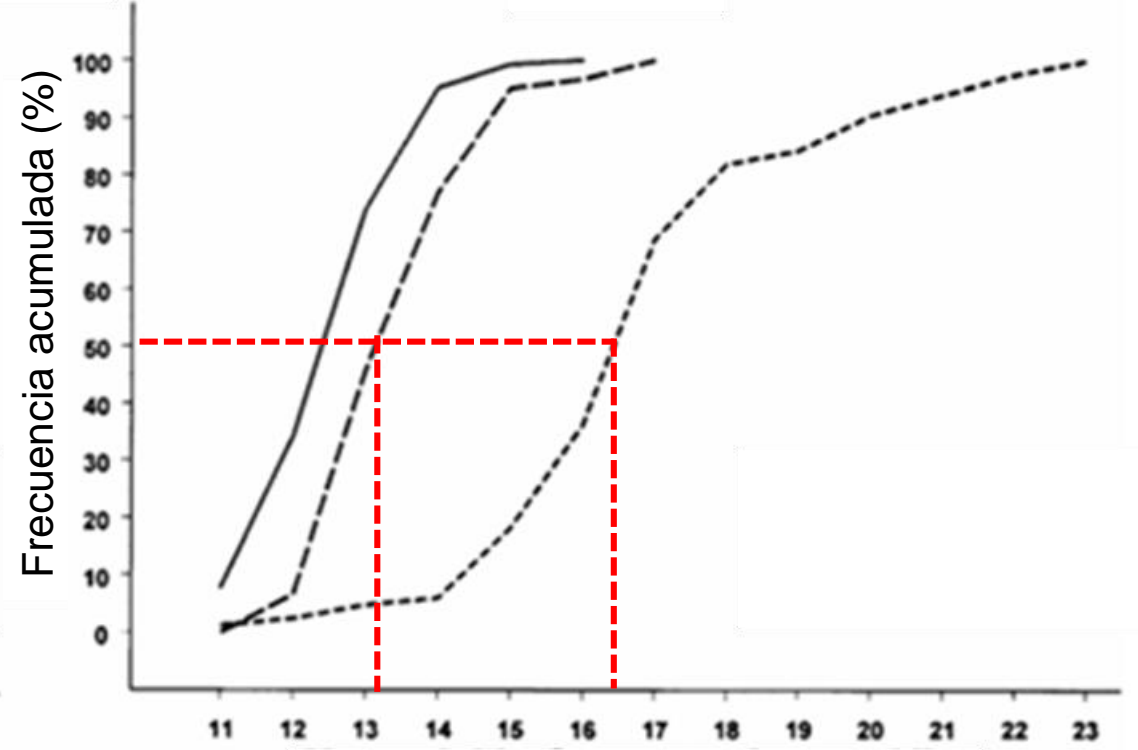
FIGURA 7: MODIFICADA

Varones



Concentración de hemoglobina (gr/dl)

Mujeres



Concentración de hemoglobina (gr/dl)

FIGURA 8: MODIFICADA

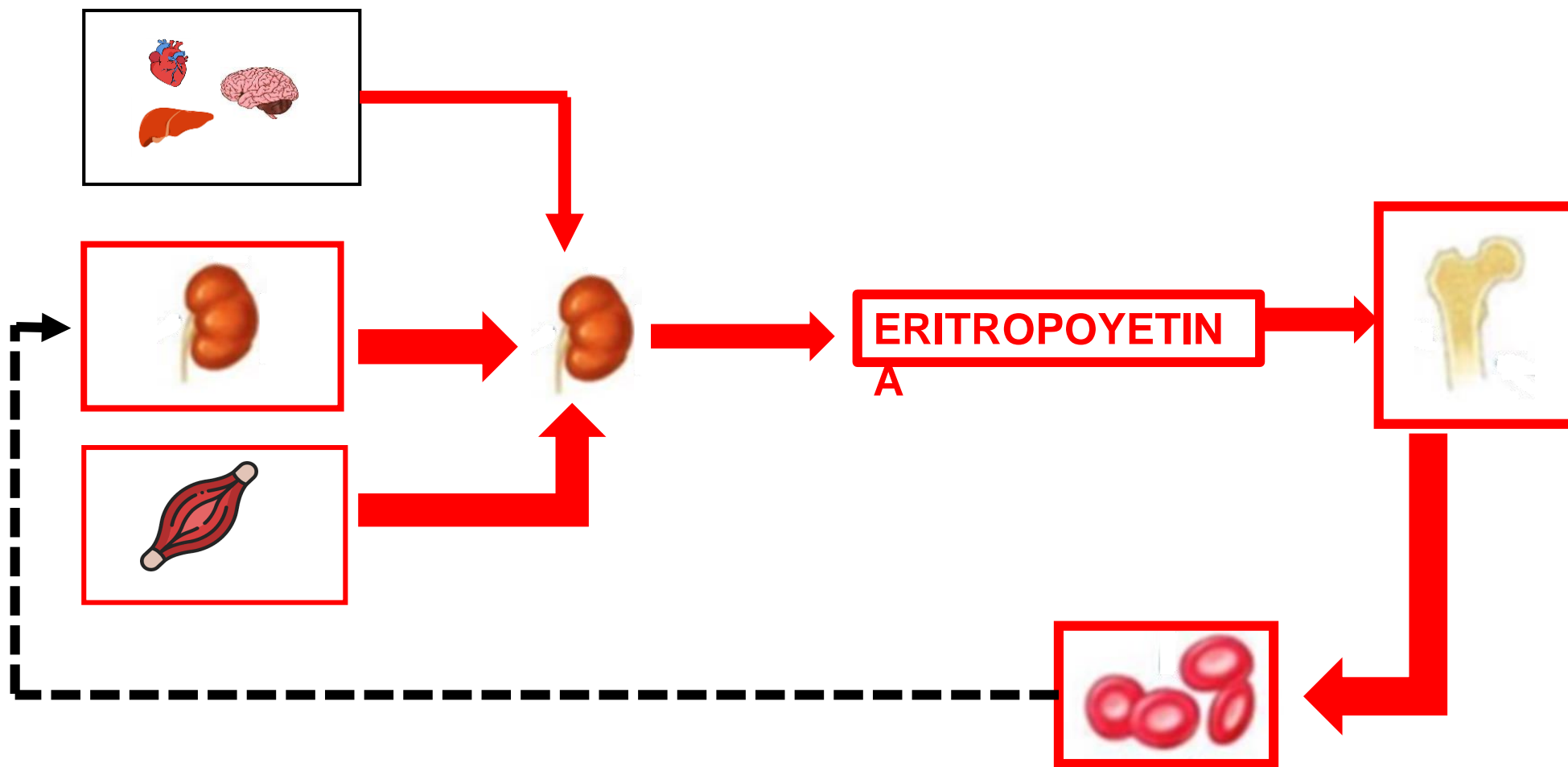


FIGURA 9: ORIGINAL

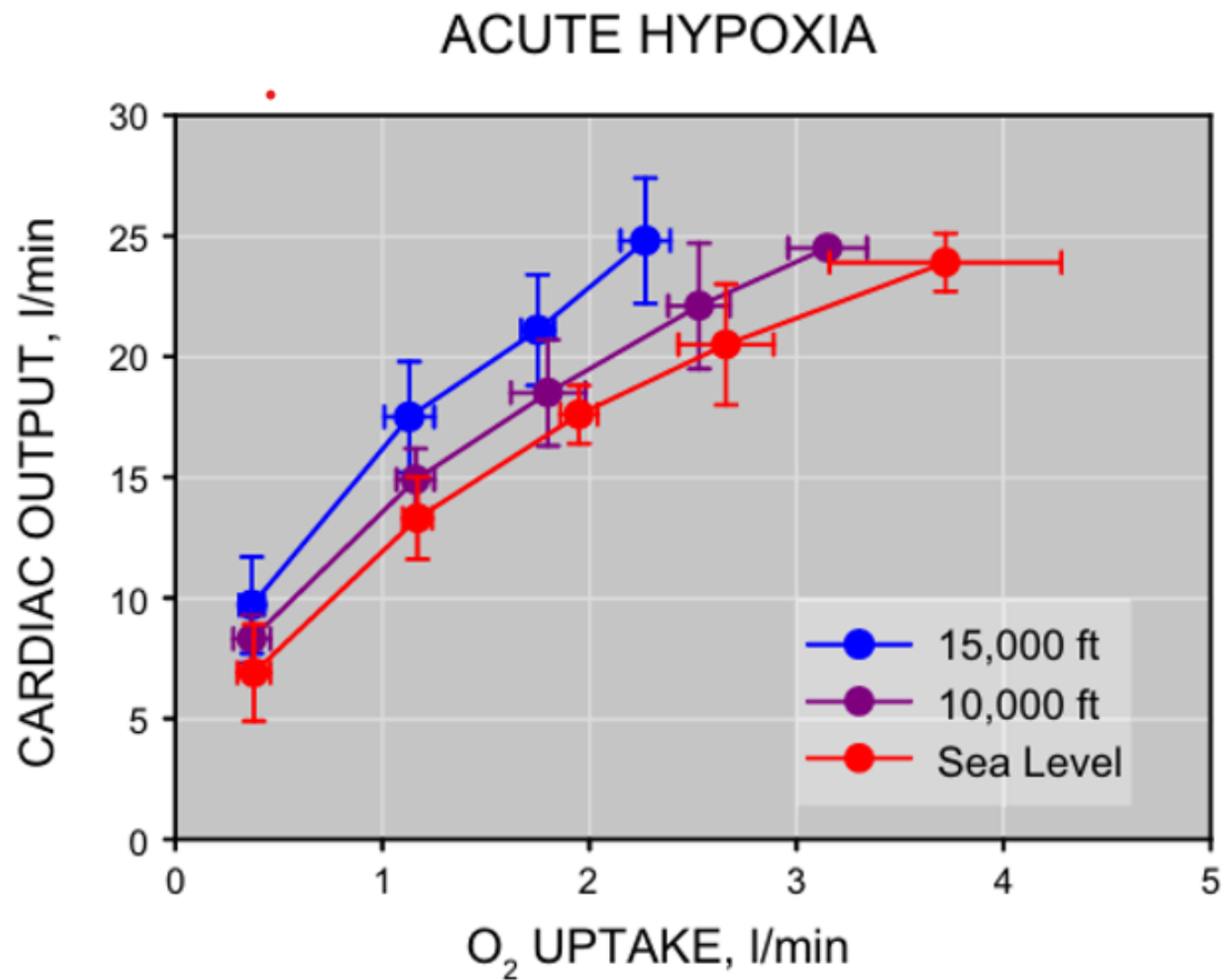


FIGURA 9: MODIFICADA

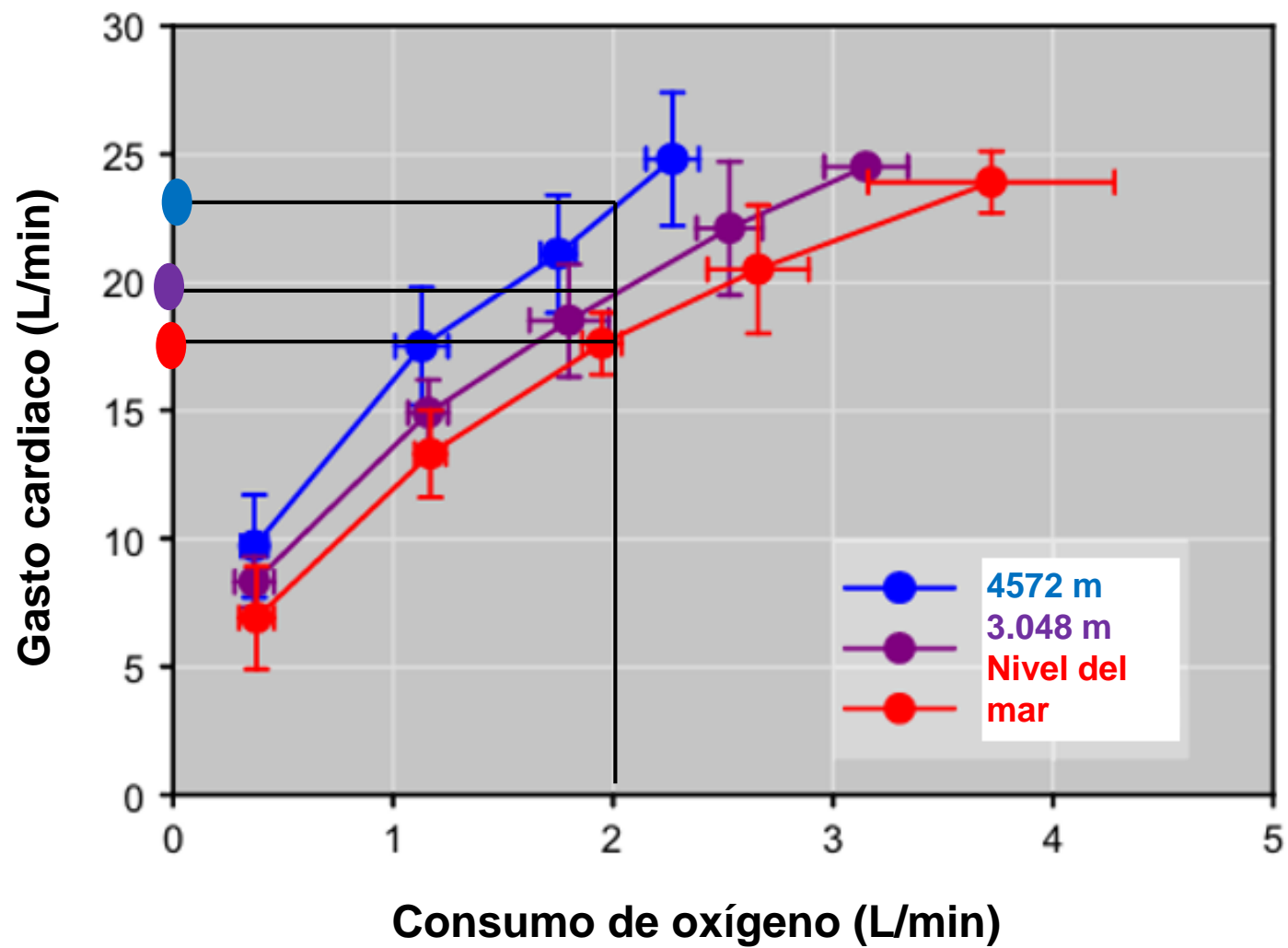


FIGURA 10: ORIGINAL

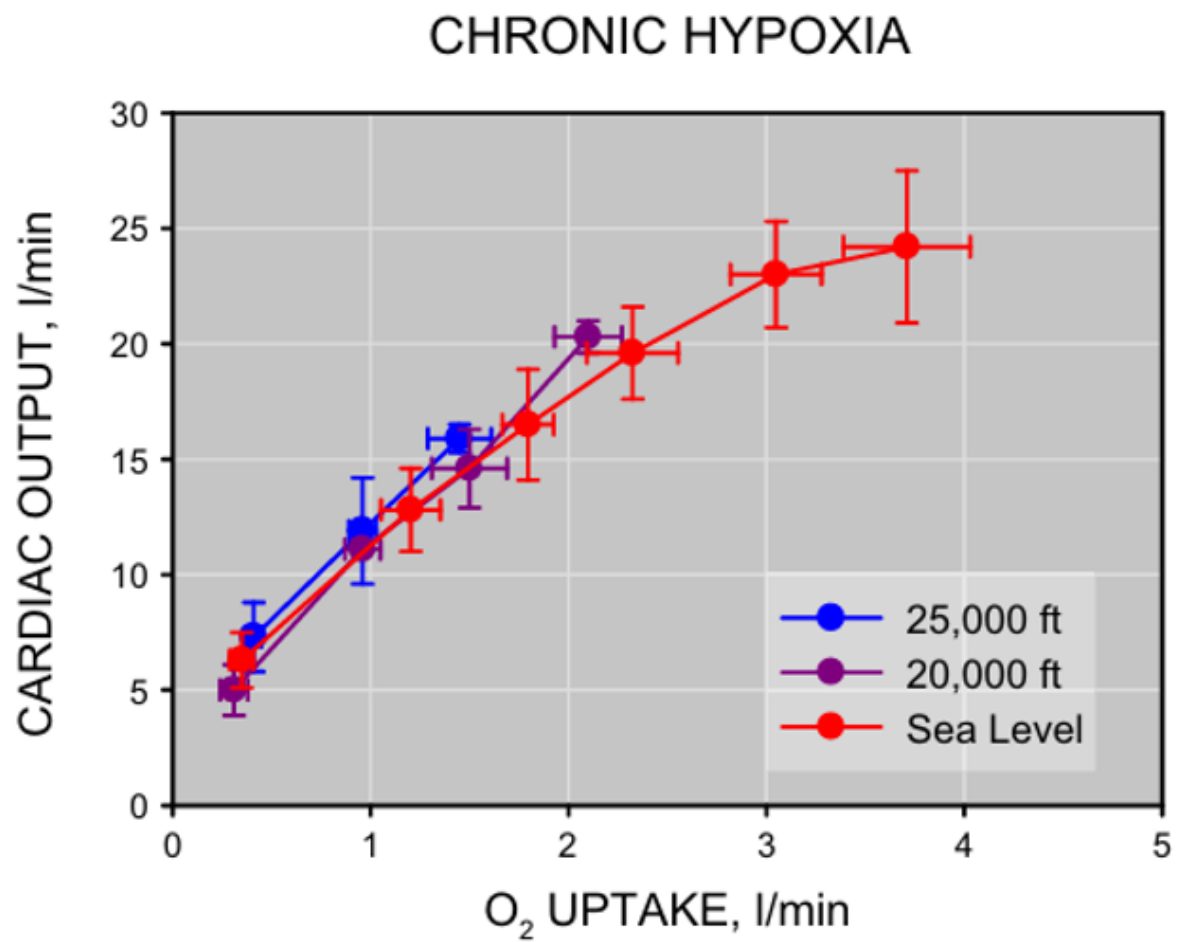


FIGURA 10: MODIFICADA

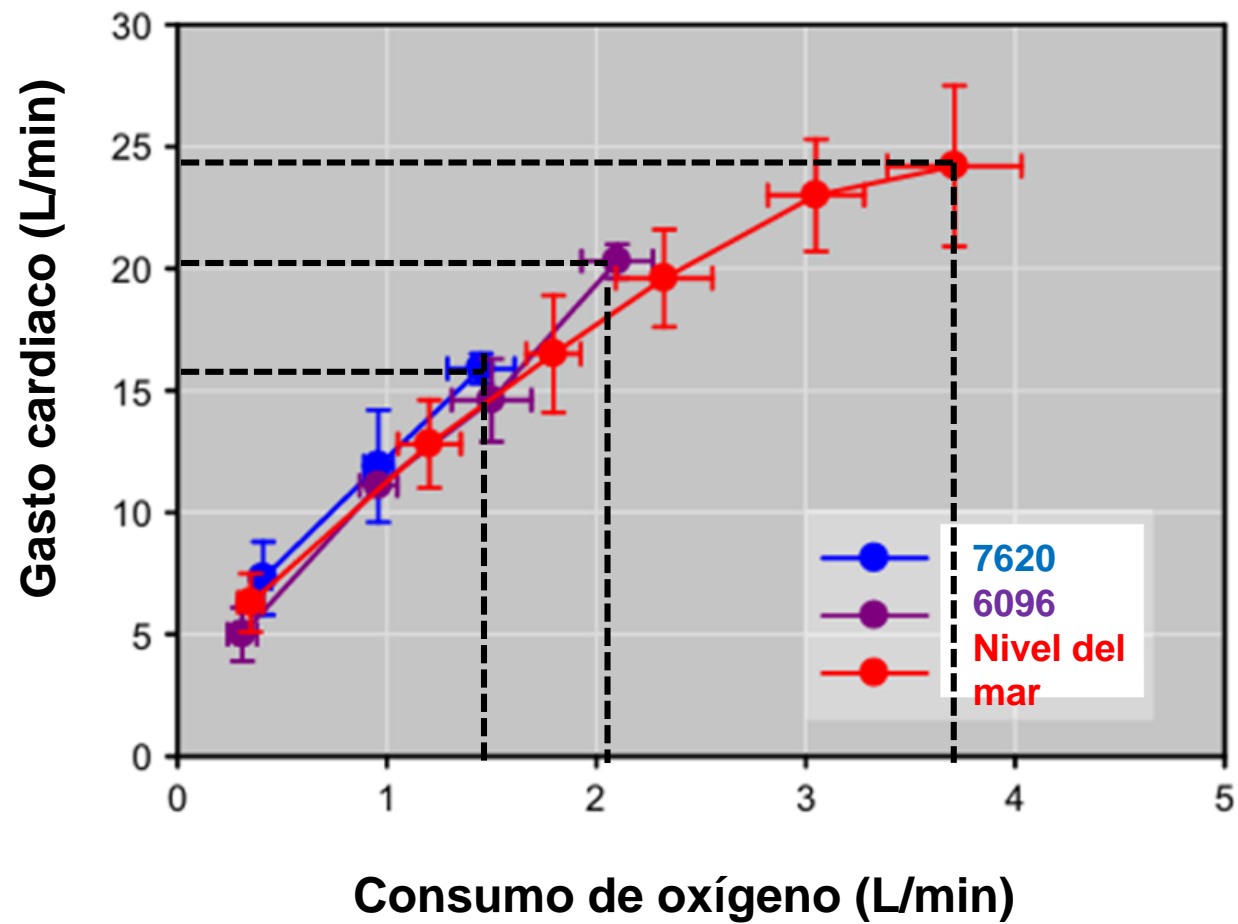


FIGURA 11: ORIGINAL

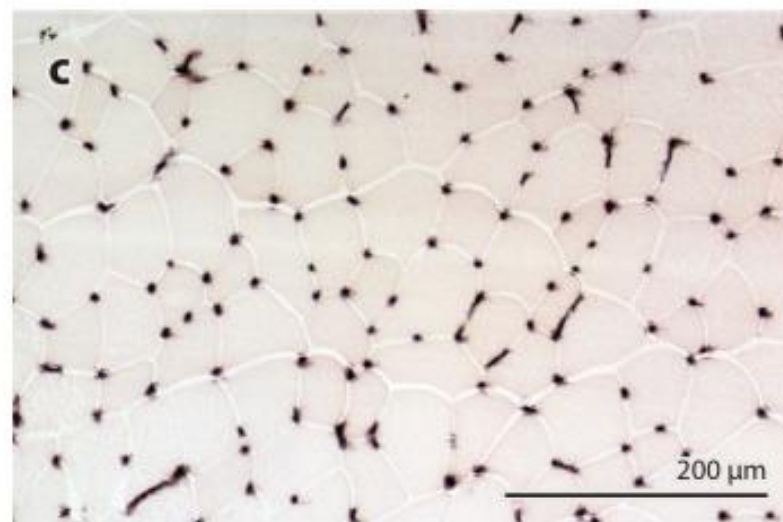
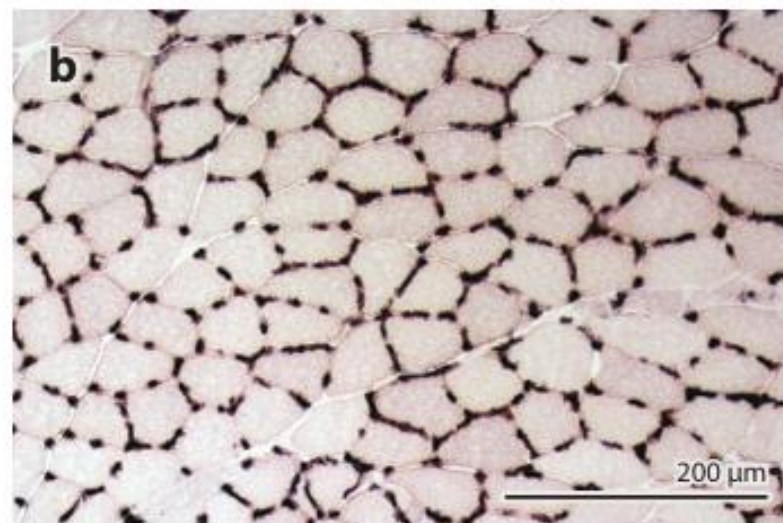
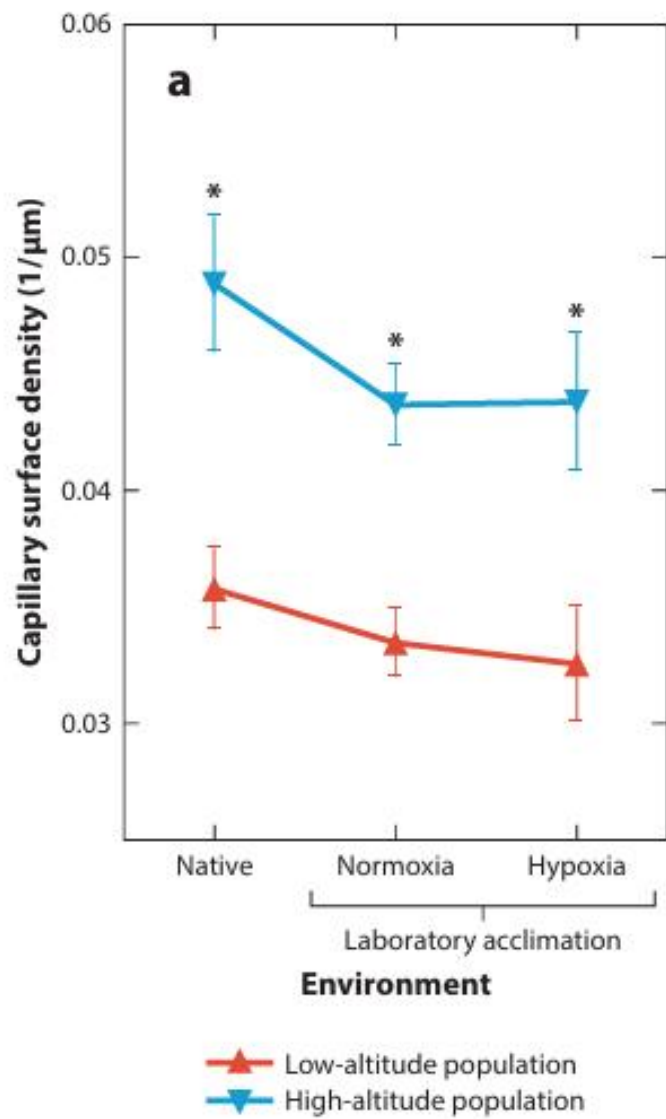


FIGURA 11: MODIFICADA

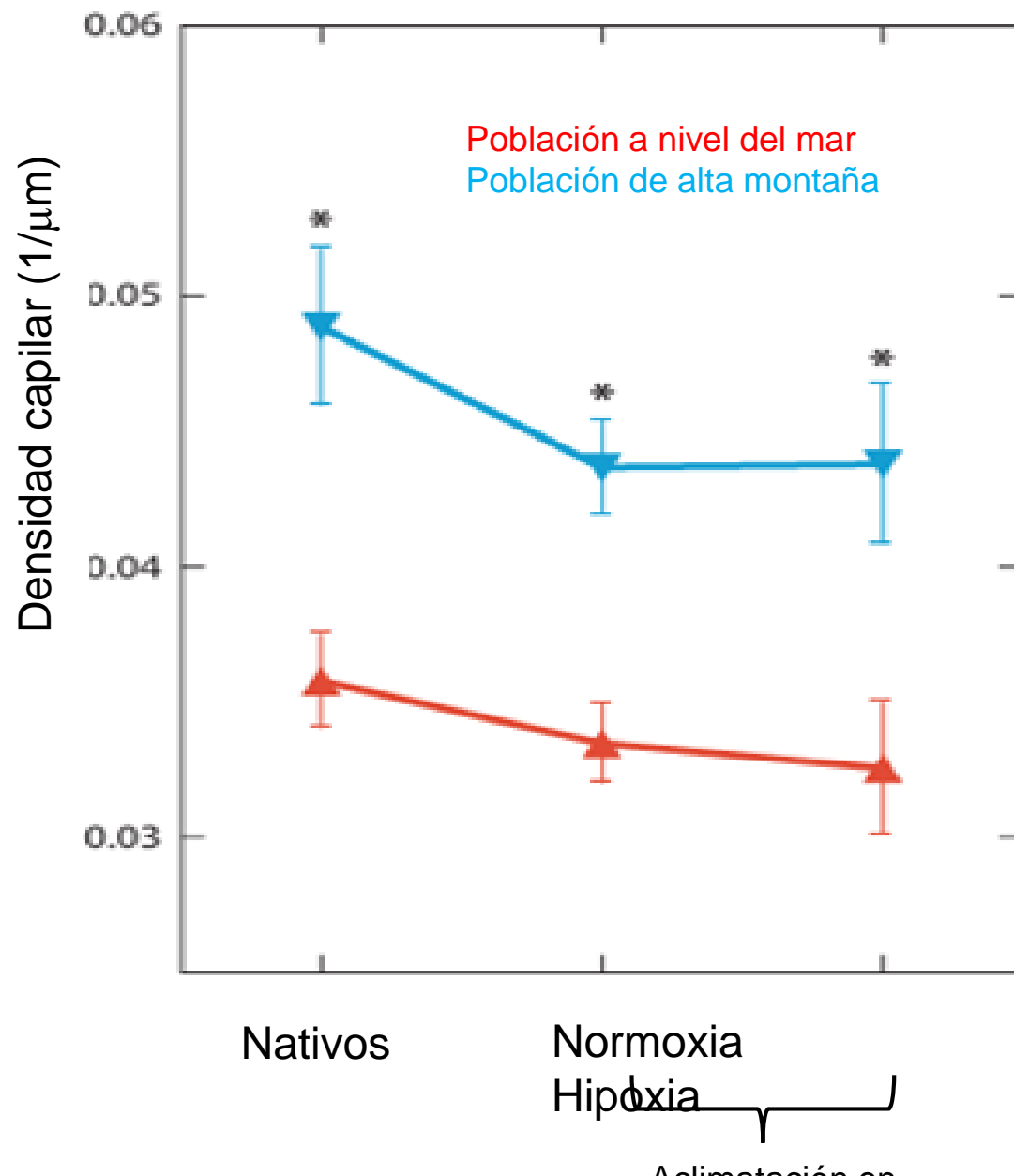


FIGURA 12: MOFICIADA DE WILMORE y COSTILL (SÓLO LOS TÍTULOS DE LA COORDENADAS

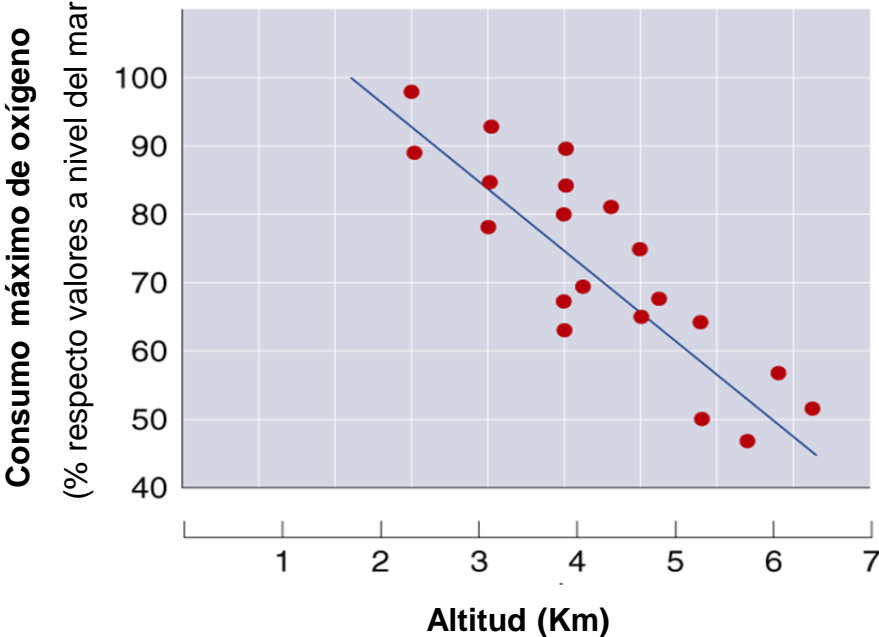
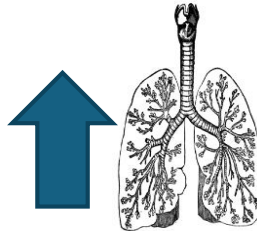
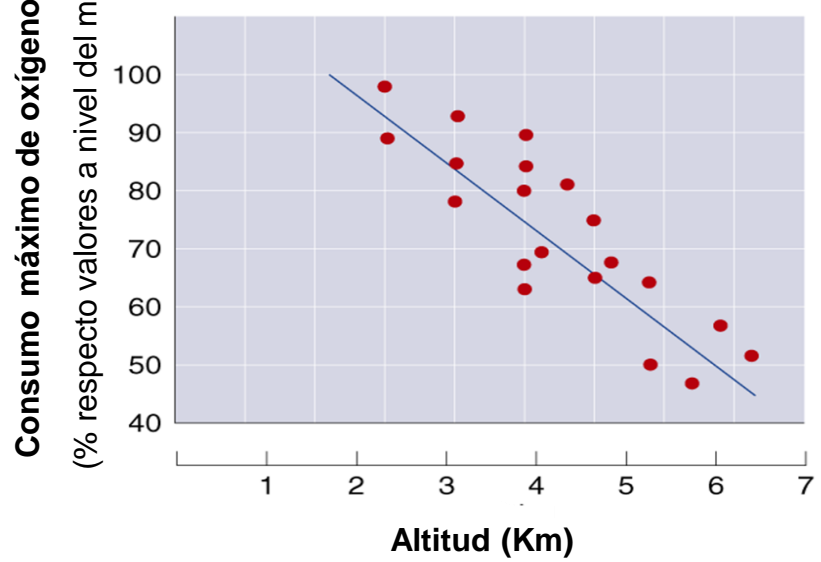
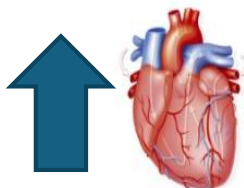


FIGURA 12:MODIFICADA, COMBINACIÓN DE UNA MIA Y DE UNA QUE APARECE EN EL WILMORE Y COSTILL

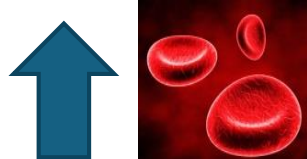
↓ $\dot{V}O_2$ resultado de hipoxia



Hiperventilación



Gasto cardiaco



Policitemia



Función vascular



Función mitocondrial

FIGURA 13: A PARTIR DE DATOS DE TRABAJO ORIGINAL DE SUTTON

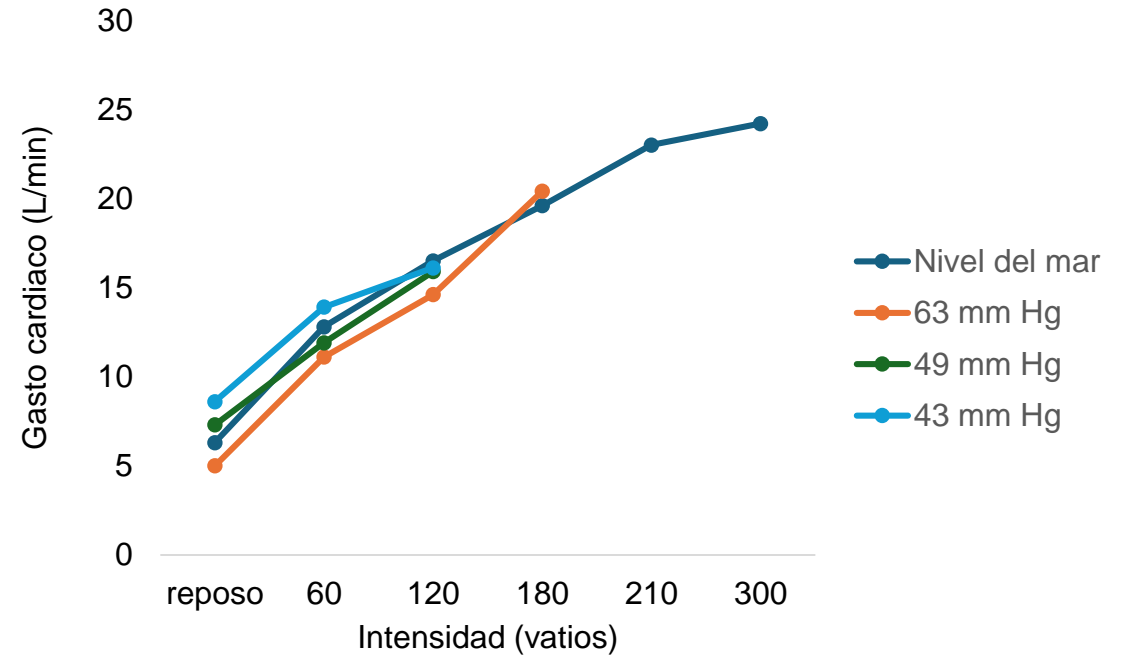
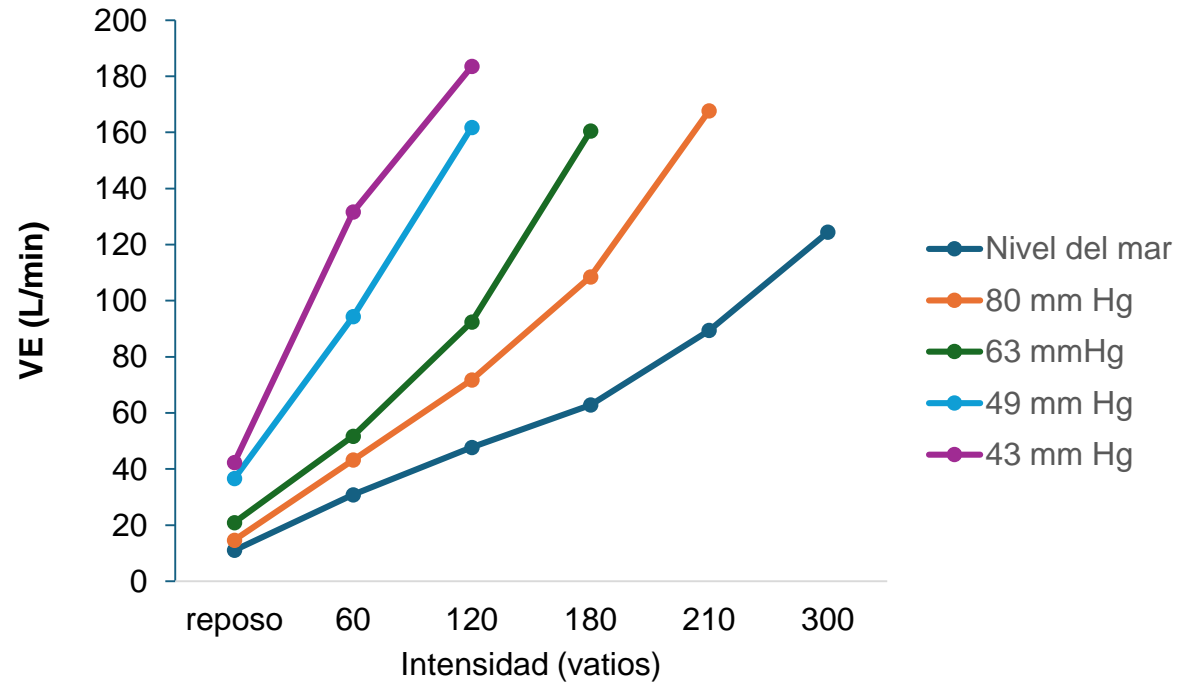


FIGURA 14: A PARTIR DE DATOS DE TRABAJO ORIGINAL DE SUTTON

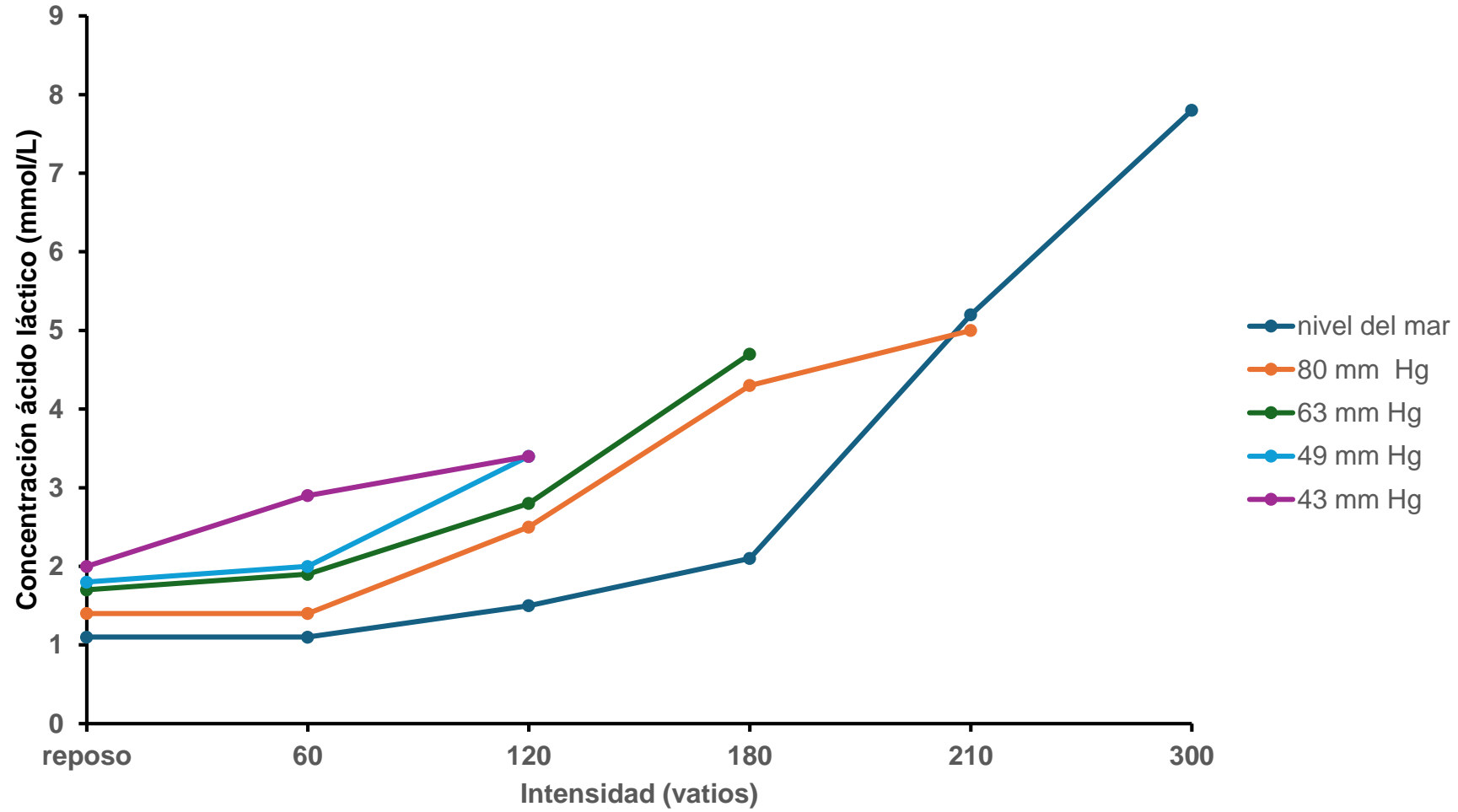


FIGURA 15: A PARTIR DE DATOS DE TRABAJO ORIGINAL DE SUTTON

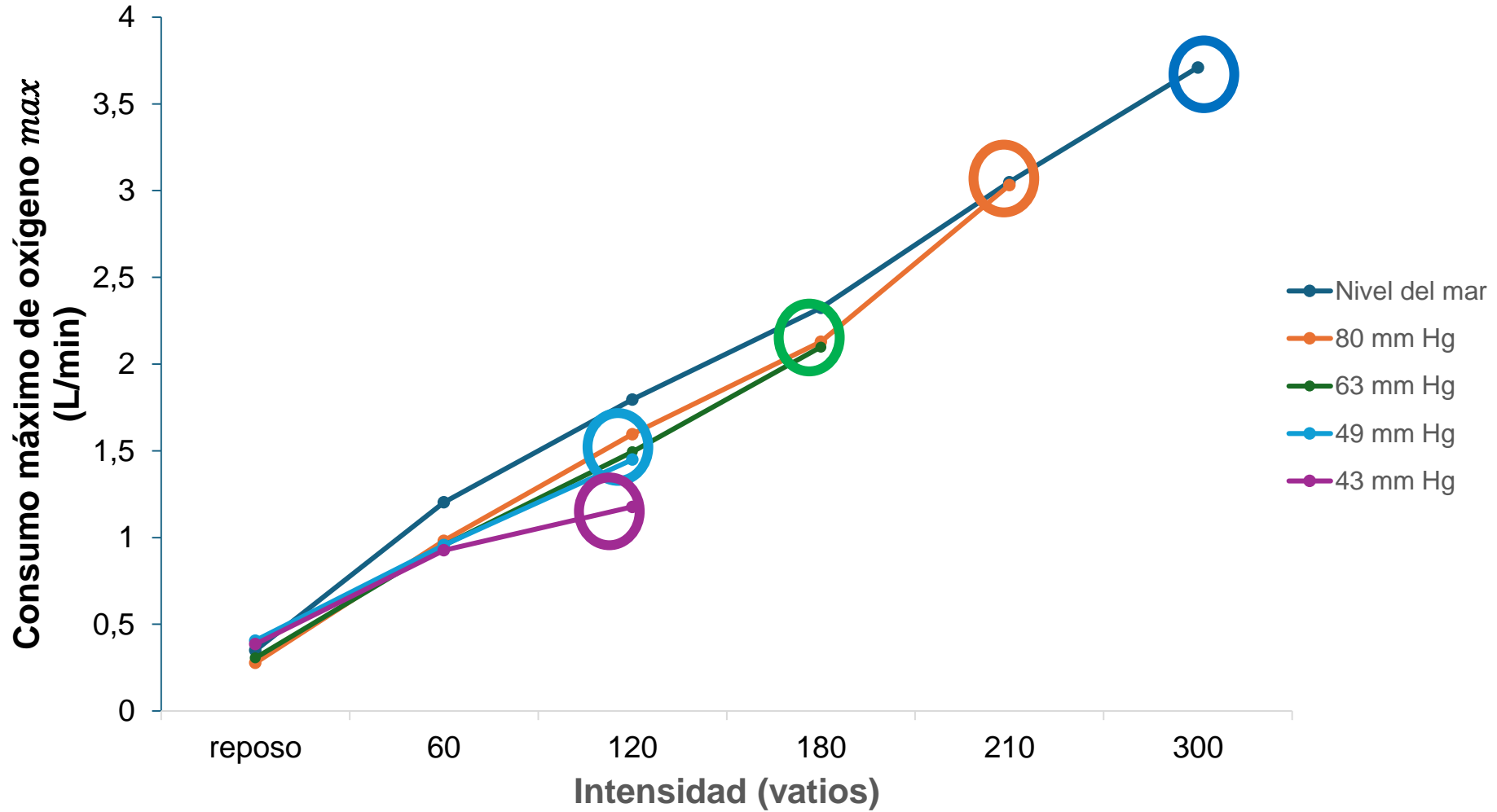


FIGURA 16: MODIFICADA DE PUGH Y WEST (SÓLO LOS TÍTULOS DE LAS COORDENADAS Y LEYENDAS)

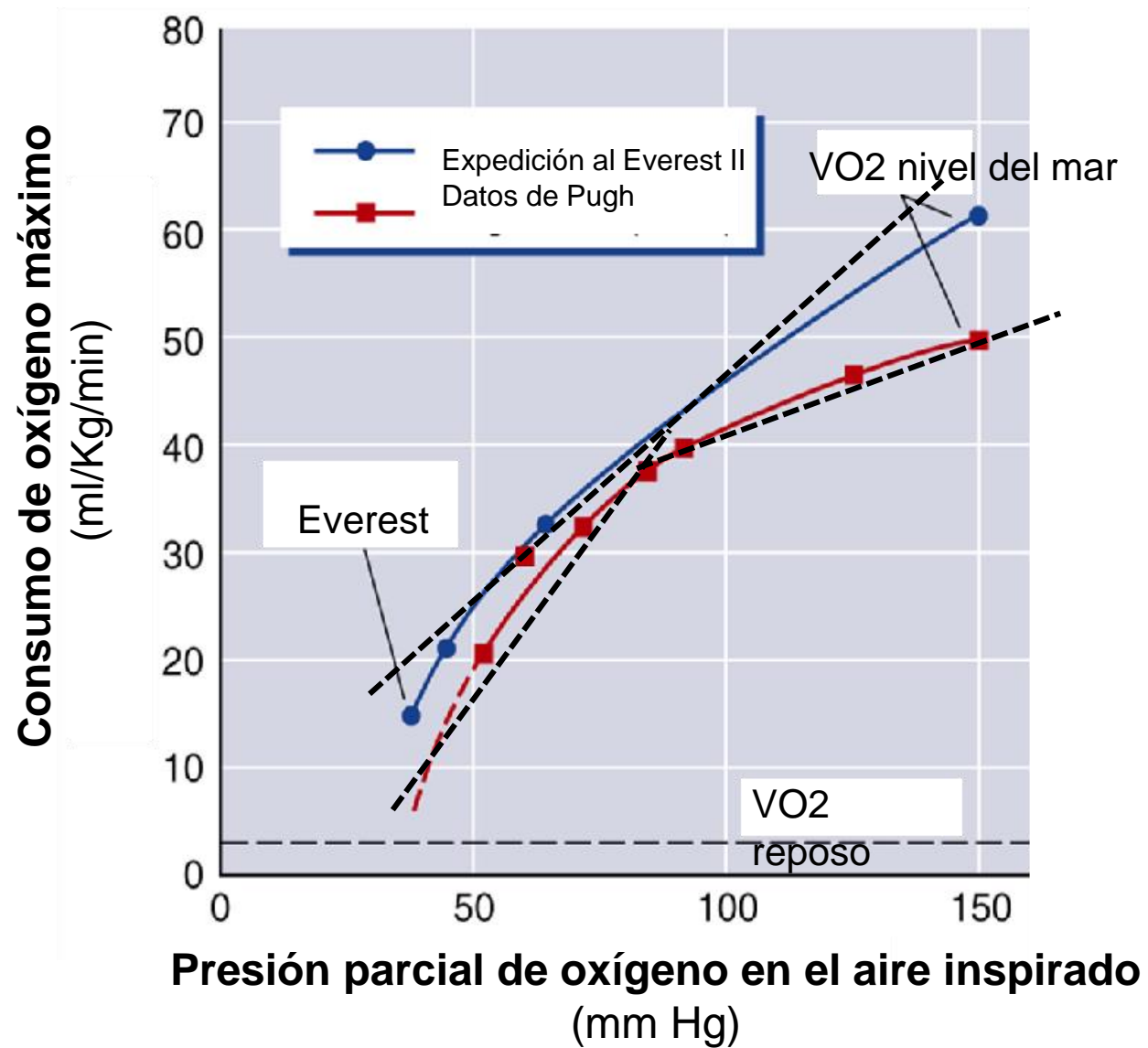


FIGURA 17: ORIGINAL HECHA POR MI

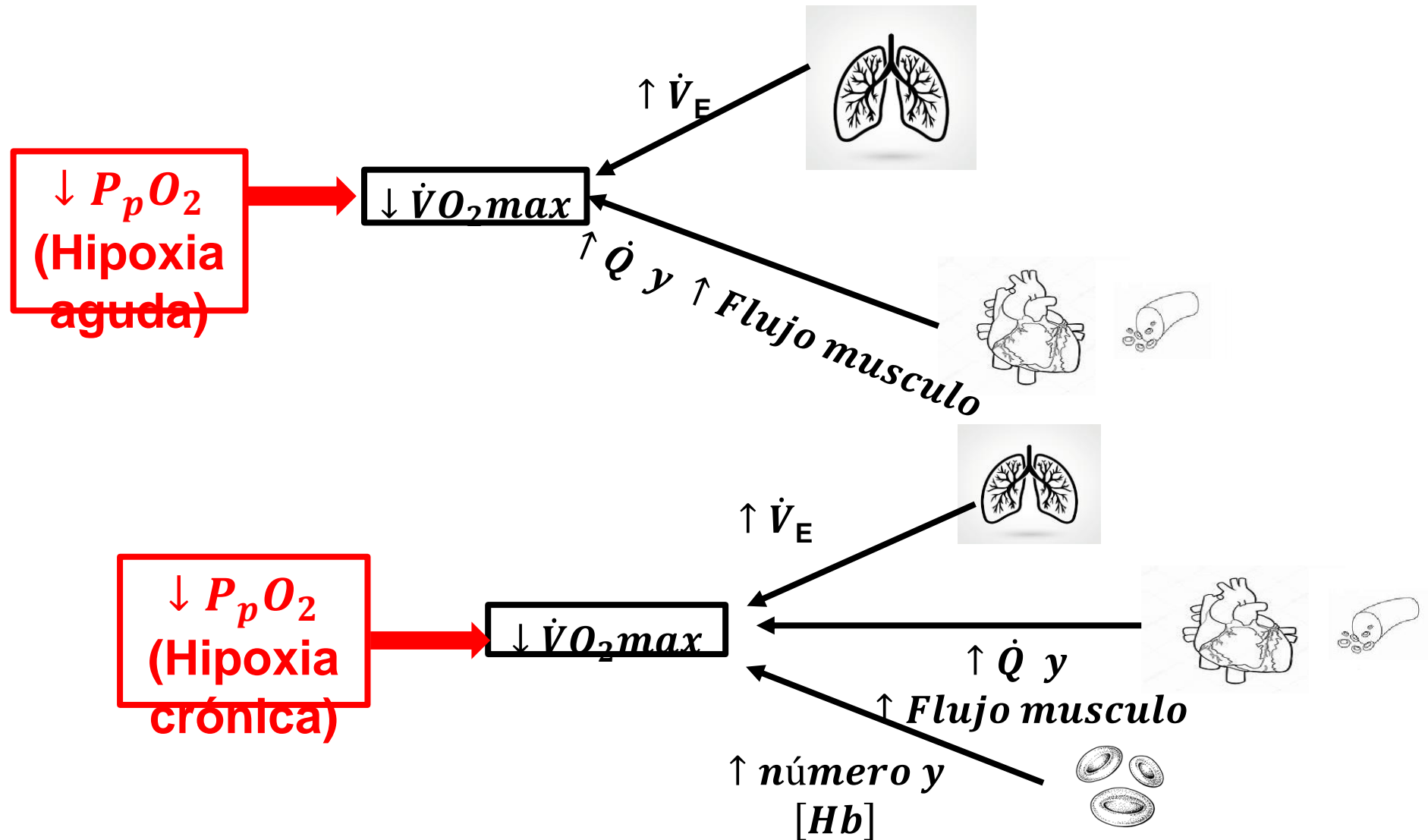


FIGURA 18. ORIGINAL

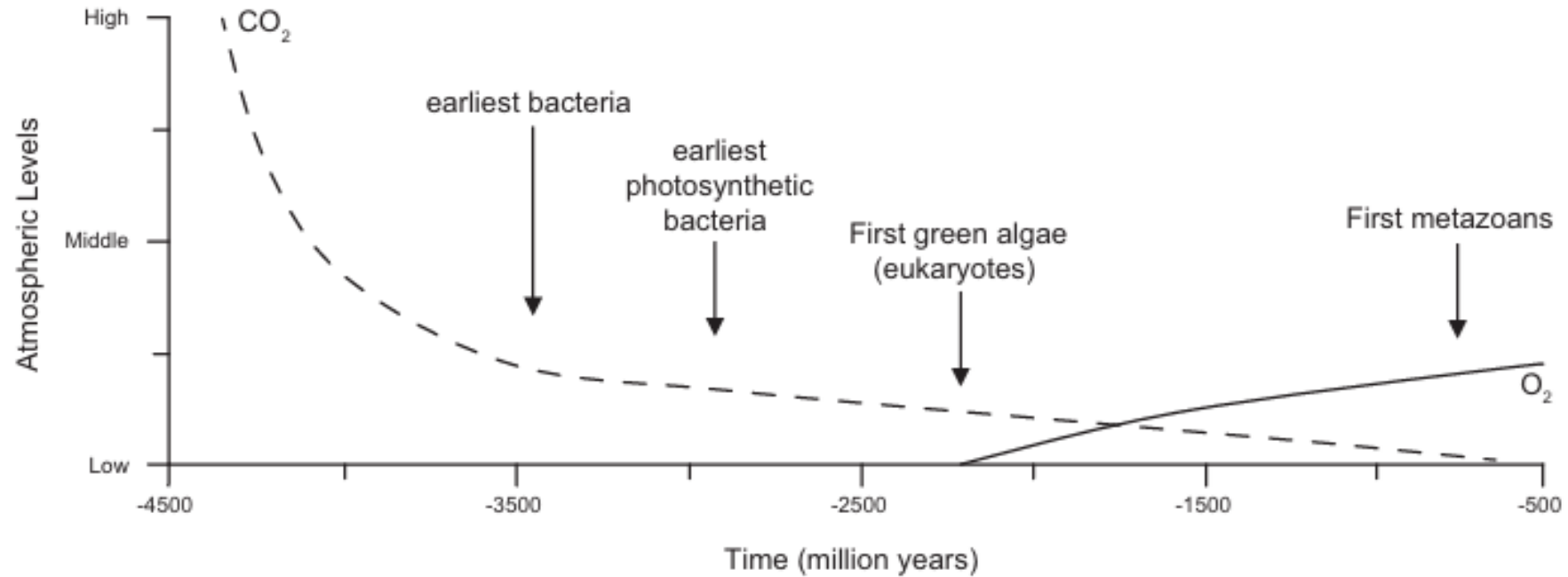


FIGURE 1. Estimation models of the relative atmospheric oxygen and carbon dioxide levels in the Earth's atmosphere over geologic time between the formation of the planet (~4,500 million years ago) and ~500 million years ago. While carbon dioxide was the dominant gas in the early history of the planet, levels have consistently decreased over time, and current levels are 400 ppm/0.04%. In contrast, oxygen concentrations became elevated during the "Great Oxidation Event" beginning at 175,000 million years ago and are currently at 21%. The concepts in this figure were inspired by References 4a, 187, 201.

FIGURA 18. MODIFICADA

